

Vysoká škola: strojní a textilní
v Liberci
Fakulta: textilní

Katedra: tkalcovství a pletářství

Školní rok: 1963/64

DIPLOMNÍ ÚKOL

pro s. Jiřího Mazáčka
obor textilní technologie, stroje a zařízení

Protože jste splnil požadavky učebního plánu, zadává Vám vedoucí katedry ve smyslu směrnic ministerstva školství a kultury o státních závěrečných zkouškách tento diplomní úkol:

Název thematu: Kinematické a dynamické řešení součásti listovky RBH
včetně listového zvedacího zařízení.

Pokyny pro vypracování:

Výchozím bodem pro toto řešení je drážková vačka s klidovou výdrží 120° a s přechodnicí ve tvaru kosinusovky. Vačka má různé klidové polohy 150° , 180° a 200° , úlohu řešit pro všechny zadané klidové výdrže.

Na hlavním vahadle a noži stanovit rychlosť, zrychlení a síly, zejména na lisovanou platinu. Dále stanovit Hertzov y tlaky na povrch drážky hlavní vačky zpřesbené vnějším kroužkem kuličkového ložiska, které snímá závrat s vačky. Ulohu řešit pro různý počet prohozů (200, 240, 280 prohozů/min).

Uvažovat maximální napětí osnovy 350 až 450 kg. Kromě toho je nutno orientačně stanovit maximální sílu ~~xxx~~ na platině pro sinusovou vačku.

Rozsah grafických laboratorních prací: Grafické řešení

Rozsah průvodní zprávy: asi 60 stran (včetně výpočtů)

Seznam odborné literatury: Výkony listovky RBH

Autorská právo se řídí směrnicemi MŠK pro státní
závěročné zkoušky č. j. 31.727/52-III/2 ze dne
13. července 1962. Výkonky MŠK Xel, sešit 24 ze dne
21.8.1962 § 19 autorského zákona č. 115/53 Sb.

TSKOUŠENÝ
Vedoucí katedry
prof. Ing. František Pomp

Vedoucí diplomní práce: Prof. Ing. František Pomp

Konsultanti: Ing. Hrdinec, závod 03 - Závody tkalcovských staví, n.p.,
Lomnice n/Pop.

Datum zahájení diplomní práce: 1.6.1964

Datum odevzdání diplomní práce: 12.VII.1964

L. S.

Vedoucí katedry

Děkan

v Liberci, dne 1. června 1964.

VŠST LIBEREC

Kinematické a dynamické
řešení mechanismu.

DP-STR.

11. ČERVENCE 1964

Jiří Mazáček

D I P L O M O V Á

P R Á C E .

Úvod.

Je objektivní skutečností, že vývoj naší socialistické společnosti ve společnost vyšších kvalit je nejenom co nejtěsněji spjat, ale přímo podmíněn intensivním, vysoce plánevité vedeným rozvojem všech složek národního hospodářství.

V závěrech XII. sjezdu KSC bylo znovu pětvrzene, že i nadále zůstává hlavním článkem rozvoje národního hospodářství spolu se zemědělstvím průmysl - a v něm těžké strojírenství jako základna výroby výrobních prostředků. V závěrech sjezdu je též podekržena úloha spotřebního průmyslu a to v tom smyslu, že spotřební průmysl má zásobit trh dostačným množstvím vysoko kvalitního zboží širokého sortimentu.

V jakém vztahu je textilní strojírenství k těmto uvedeným faktům. V prvé řadě je třeba si všimnout, že úspěchy spotřebního průmyslu v oblasti textilní výroby jsou úměrný výsledkům textilního strojírenství. že tedy záleží na tom, zdali spotřební textilní průmysl bude mít dostačný a moderní strojový park a bude potom moci produkovat požadovaný objem zboží vysoké kvality a širokého sortimentu.

Nelze si nepovšimnout také toho faktu, že

některé obory našeho textilního strojírenství se svými vědeckými a konstrukčními výsledky řadí na špičku světového vývoje. To má vedle jakéhosi morálního efektu též i značný dosah hospodářský. Dá se tedy tvrdit, že textilní strojírenství má své pádné slovo v rozvoji celého národního hospodářství.

Současný textilní vývoj, shodně s vývojem ostatních průmyslových strojírenských odvětví, se ubírá směrem zkvalitnění a maximální intensifikace stávajících výrobních procesů. Přičemž ale není opomíjen ani výzkum možností revolučních změn takových výrobních procesů, kde již další zprodukтивnění není reálné. Tato cesta je ale dosti trnité, zejména v tak tradičním odvětví jako je právě textilní průmysl.

Tato diplomová práce je orientována na zjištění, zda je možné použít navržený mechanismus bočního prošlupního mechanismu RBH pro stavu konstruované na vyšší prehodní rychlosti.

Zadanou úlohou je teoretický výpočet kinematických a dynamických poměrů mechanismu listového stroje RBH. Tento stroj je vyráběn v Závodech tkalcovských stavů, závod O3 Lomnice nad Popelkou. Výrobce produkuje tento stroj v zásadě ve dvou modifikacích pro 16 a 22 listů a tyto potom upravuje pro různé stavy a různé paprskové šíře. Snad největšího rozšíření dosla tato listevka u stavu K58 v modifikaci s 16 listech.

RBH je rychloběžný listový stroj s nuceným zdvihem i stahem listů. Pohyb mechanismu zdvihu a stahu listů je odvozen od drážkové kruhové vačky s kosinusevými přechodnicemi. Celý mechanismus lze v podstatě rozdělit na dvě části a to : na hnací část, tvorenou vačkou a vahadlem, které je součástí zdvojeného paralelogramu, na něž jsou uchyceny nože a hřebeny sloužící k ovládání druhé části mechanismu, která prostřednictvím lisované platiny a pákového převodu přenáší na jednotlivé listy impulsy než respektivě hřebene hnacího paralelogramu. Většina součástí listového stroje je vyrobena ze šedé litiny, pouze táhla a lisovaná platinu jsou ocelová.
/U stroje s 22 listy je též nůž z oceli./

Stručný rezvrh a postup řešení.

Předně je třeba si zvolit vhodný pracovní režim listového stroje a pro něj potom provést celý výpočet. V zadání je uvedeno max. napětí osnovy 450 kg, to přibližně odpovídá napětí osnovy pro tkání hustého plátna.

Zvolme si tedy tento pracovní režim: napětí osnovy 450 kg, počet nití 6 000, návlek do 4 listů a tkání budeme provádět na stavu K58. Vzalme si velikost prešlupu • nece větší nežli je běžně používáno a sice h 120 mm / tím vlastně zvýšíme velikost namáhání stroje /, vzdálenost svírky od bohu přírazu vzalme H = 1 050 mm.

Na jeden list tedy připadne $\frac{1}{4}$ celkového počtu nití a stejný díl celkového napětí.

Graficky byla zjištěna síla působící ve svislém směru na list od stažené respektivě zdvižené osnovy. Označme ji $P_{19} = 34 \text{ kg}$.

Dalším krokem výpočtu bude zjištění kinematických veličin vačky a celého hnacího paralelogramu, odkud přejdeme přes lisovanou platinu na všechny členy mechanismu.

Nyní přejdeme na dynamické řešení a speciálně si položíme otázku, jaké maximální hodnoty nabýde síla / vznikající při chodu stroje / mezi nožem a ozubem lisované plátiny. Východiskem nám bude vztah vyjadřující elementární změnu pohybové energie sou-

stavy.

$$\sum M_i d\gamma_i + \sum T_j ds_j = \sum dE$$

Přitom předpokládáme, že vnější účinky působí ve smyslu kladných přírůstků veličin γ_i ; s_j ; působí-li ve skutečnosti opačně, je třeba dosadit je záporně.

Dělíme-li vztah dt, máme

$$\sum M_i \omega_i + \sum T_j v_j = \frac{dE}{dt}$$

kde ω_i , v_j jsou rychlosti členů soustavy.

Abychom mohli této rovnice použít v konkrétním případě, je třeba zvolit některý člen za základní a vhodně vyjádřit pohybovou energii. To je tak zvaná redukce na zvolený člen.

Redukce na posouvající se člen. Označme zvolený posouvající se člen p a nepočítejme jej mezi ostatní členy. Členu p přísluší veličiny: v_p, a_p, m_p, T_p

Ostatní posouvající se členy budou mít:

v_j, m_j, T_j a rotující členy: ω_i, J_i, M_i

Potřebné převody nechť jsou:

$$\mu_{pj} = \frac{v_j}{v_p}, \quad \mu_{pi} = \frac{r_p \dot{\gamma}_i}{v_p}, \quad \text{kde } r_p \text{ je}$$

vhodně zvolený poloměr.

Vyjádříme-li pohybovou energii soustavy, zavedeme-li s použitím převodů do všech členů tehoto vztahu rychlosť v_p a zavedeme-li

redukovaneu hmotu na zvolený základní člen

$$m_{red} = m_p + \sum m_j (\alpha_j^2) + \sum J_i \left(\frac{\alpha_{ri}}{r_p} \right)^2$$

Po dosazení redukovanej hmoty a převodů do vztahu I. dostaneme pehovévání

$$m_{red} a_p = T_p + \sum T_j \alpha_j + \sum M_i \frac{\alpha_{ri}}{r_p}$$

Pehová rovnice v obecném tvaru tedy je :

$$T_{nd} = m_{red} a_p$$

Z pehové rovnice vypočteme sílu P_9 mezi nožem a ozubem lisované platiny. Dále vyřešíme silové poměry na hnacím paralelogramu a speciálně hnací moment, který musí udělit vačka delnímu vahadlu./ Člen č. 3 / Z velikosti téhoto hnacího momentu vypočteme dále velikost normálné síly mezi kladíkou a běční stěnou drážky hnací vačky. A z této síly vypočteme maximální Hertzův tlak.

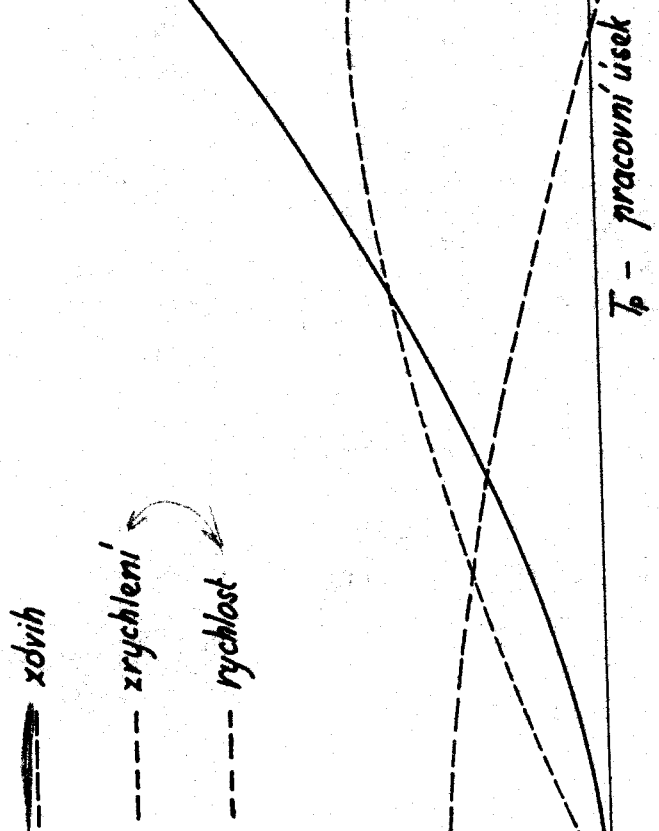
Zjištění kinematických veličin kosinu-
sové vačky a vahadla.

Kinematické poměry pleché kosinusové vačky jsou znázorněny na následující stránce. K dynamickému řešení potřebuji především znát charakter průběhu zrychlení. A to z toho důvodu, že dynamické odpory mechanismu jsou přímo úměrné velikosti zrychlení. Maximum zrychlení tedy odpevídá maximu namáhání všech členů mechanismu.

Z obrázku plyne, že nejvyšší hodnota zrychlení je u kosinusové vačky na začátku a na konci přechodnice, a že kladička vačky nabýde této extrémní hodnoty okamžitě v nulovém čase. U této vačky je průběh rychlosti sinusový a průběh zrychlení kosinusový.

Na obrázku je zakreslena vačka plechá - hnacím členem mechanismu je však vačka kruhová drážková, ze které je pohyb edebíráno vahadlem s kladičkou.

U drážkové vačky s kývavým vahadlem bude na vahadlo přenášena pouze složka kolmého zrychlení. To je jediný rozdíl od pleché vačky. Protože i tato složka musí mít stejný charakter průběhu / t.j. kosinusový / , platí tedy pro ni stejné závěry jako pro kolmé zrychlení vačky ploché - maximum na začátku a na konci přechodnice.



Kinematické veličiny kladíčky a vahadla vyřeším pomocí náhradního mechanismu, který sestojím pro zvolenoú polohu. Na tomto náhradním mechanismu, který je kinematicky totičný s uvažovanou okamžitou vzájemnou polohou vačky a kladíčky s vahadlem, vyřeším rychlosť a Carielisovou konstrukcí zjistím zrychlení kladíčky a vahadla. Potom přejdu na táhla a nože mechanismu.

Otzáka, kdy bude největší namáhání mechanismu, vyplývá přímo z pohybové rovnice mechanismu listového stroje, při výpočtu síly na lisovanou platinu. Bude to okamžik, kdy má být zahájen zdvih listů ze spodní krajní polohy. Tato poloha je zakreslena na kinematickém schematu mechanismu na příloze č.1.

Pokud se týče maxima zrychlení přeneseného na mechanismus, je třeba si uvědomit, že mezi nožem a ozubem lisované platiny je vůle / v bodě E kinematického schematu /, která se seřizuje na 0,8 mm. Mechanismus bude tedy urychlen v tom okamžiku, kdy se nůž posune o 0,8 mm a narazí na ozub platiny. V tom okamžiku bude již posunuta kladíčka na vačce o malý úhel od bodu přechodu kruhového obléku v obléuk kosinusový. Tento úhel bude tak veliký, aby zdvih kladíčky, který odpovídá tomuto úhlu, násobený převodem mezi kladíčkou a nožem byl právě 0,8 mm.

Odhadem lze říci, že tento úhel bude malý - zřejmě největší bude u vačky se 120° přechodnicí přibližně kolem 7° , u ostatních vaček méně.

V tomto je tedy nutno si upřesnit předcházející úvahy o maximu namáhání celého mechanismu listového stroje.

K sestrojení náhradního mechanismu pro jednotlivé vačky je třeba přesně znát souřadnice bodu / označme jej 120_M ; až 200_M /, v němž dějde ke styku nože a ozubu platiny. Pro tento výpočet si na vačce zvolíme polární souřadnicový systém, kde pol se shoduje se středem vačky a průvodič, procházející bodem styku kruhového oblouku s obalem přechodnice, má souřadnici. $\alpha_0 = 0^\circ$

Rovnice kosinusevé přechodnice

$$\rho = R_o - \frac{h}{2}(1 - \cos\alpha')$$

Úhel α' však platí pro nezkrácenou kosinusovku, přechodnice je ale zkrácena v tomto poměru

$$\alpha_{skut} = \frac{K^\circ}{\pi} \cdot \alpha'$$

α_{skut} -úhel na skutečné přechodnici

K° -délka skutečné přechodnice ve stupních

$$\bar{\rho} = R_o - 0,8 \cdot i = R_o - \frac{h}{2}(1 - \cos\alpha')$$

$$\alpha' = \arccos\left(1 - \frac{2,08i}{h}\right) = \frac{K^\circ}{\pi} \cdot \frac{1}{\alpha_{skut}}$$

$$i - \text{převod mezi nežem a kladíčkou} = \frac{155}{130} = 1,19$$

Hodnoty úhlů pro jednotlivé vačky.

| Přechodnice | 120° | 150° | 180° | 200° |
|-------------------|----------------|----------------|----------------|----------------|
| Úhel $\alpha [']$ | $-7^\circ 52'$ | $-6^\circ 51'$ | $-5^\circ 54'$ | $-5^\circ 15'$ |

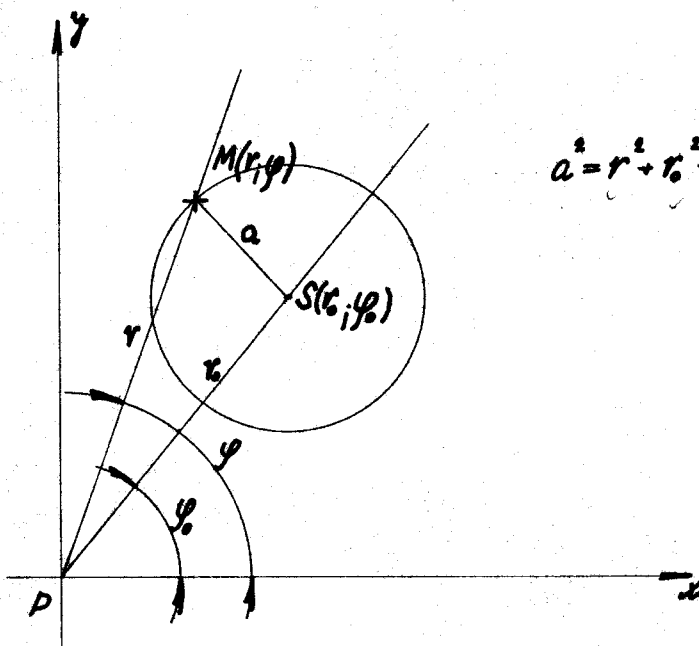
Konstrukce náhradního mechanismu.

Náhrada skutečného mechanismu se provádí většinou při řešení trojčlenných mechanismů, kdy selhává běžně používaná pôleová konstrukce. Potom převedeme trojčlený mechanismus na čtyřčlený, na němž provedeme grafické řešení kinematických veličin. Při náhradě musíme vyhovět těmto podmínkám: musí být zachovány středy otáčení a středy křivesti nahrazovaného mechanismu. Temu vyhovíme v našem případě tak, že mezi bdu $120^\circ M$ /respektivě $150^\circ M$; $180^\circ M$ a $200^\circ M$ / a jeho odpovídající střed křivosti vložíme čtvrtý člen. Tím je náhradní mechanismus sestřelen.

Ovšem je třeba znát středy křivosti bdu M na jednotlivých vačkách. Provedeme tedy v okolí bdu M náhradu kosinusového oblouku ebloukem kruhovým, jehož střed analyticky vypočteme a budeme jej považovat za střed křivosti bdu M.

Výpočet středů křivosti bdu $120^\circ M$ až $200^\circ M$

Rovnice kružnice v polárních souřadnicích.



$$a^2 = r^2 + r_0^2 - 2r \cdot r_0 \cdot \cos(\varphi - \varphi_0)$$

Pro výpočet středu křivosti bude $120^\circ M \div 200^\circ M$ si zvolíme souřadný polární systém tak, že průvodič jdoucí bodem styku kružnice a kosinusevky bude mít souřadnice $\varphi = 90^\circ$. V těchto souřadnicích mají tedy body M úhel průvodiče $\varphi_M = 90^\circ + \alpha_M$ / -viz tabulka na předcházející straně/. Dále zvolíme bod M vlevo a bod M vpravo od bodu $120^\circ M$ / resp. $150^\circ M \div 200^\circ M$ /, počítěný $\alpha + \frac{K}{r} \cdot 5^\circ$; respektivě $\alpha - \frac{K}{r} \cdot 5^\circ$; přičemž souřadnice r; r, a r_i příslušných bodů vypočteme z podmínky, že body leží na odpovídající přechodnici, splňují tedy rovnici kosinusevé přechodnice

$$r_i = R_0 - \frac{L}{2} \left(1 - \cos \frac{K}{r} \varphi_i \right)$$

Obecný výpočet souřadnic středu křivosti.

$$M(r, \varphi) \quad M_1(r_1, \varphi_1) \quad M_2(r_2, \varphi_2)$$

$$a^2 = r^2 + r_0^2 - 2rr_0 \cos(\varphi - \varphi_0)$$

$$a^2 = r_1^2 + r_0^2 - 2r_1r_0 \cos(\varphi_1 - \varphi_0)$$

$$\underline{a^2 = r_2^2 + r_0^2 - 2r_2r_0 \cos(\varphi_2 - \varphi_0)}$$

$$0 = r^2 - r_1^2 - 2rr_0 \cos(\varphi - \varphi_0) + 2r_1r_0 \cos(\varphi_1 - \varphi_0)$$

$$r_1^2 - r^2 = 2r_0[r_1 \cos(\varphi_1 - \varphi_0) - r \cos(\varphi - \varphi_0)]$$

$$\underline{r_0 = \frac{r_1^2 - r^2}{2[r_1 \cos(\varphi_1 - \varphi_0) - r \cos(\varphi - \varphi_0)]}}$$

$$0 = r_1^2 - r_2^2 - 2r_1r_0 \cos(\varphi_1 - \varphi_0) + 2r_2r_0 \cos(\varphi_2 - \varphi_0)$$

$$r_2^2 - r_1^2 = 2r_0[r_2 \cos(\varphi_2 - \varphi_0) - r_1 \cos(\varphi_1 - \varphi_0)]$$

$$\frac{r_2^2 - r_1^2}{r_1^2 - r^2} = \frac{r_2 \cos \varphi_2 \cos \varphi_0 + r_2 \sin \varphi_2 \sin \varphi_0 - r_1 \cos \varphi_1 \cos \varphi_0 - r_1 \sin \varphi_1 \sin \varphi_0}{r_1 \cos \varphi_1 \cos \varphi_0 + r_1 \sin \varphi_1 \sin \varphi_0 - r_2 \cos \varphi_2 \cos \varphi_0 - r_2 \sin \varphi_2 \sin \varphi_0} = \\ = \frac{\lg \varphi_0 (r_2 \sin \varphi_2 - r_1 \sin \varphi_1) + r_2 \cos \varphi_2 - r_1 \cos \varphi_1}{\lg \varphi_0 (r_1 \sin \varphi_1 - r_2 \sin \varphi_2) + r_1 \cos \varphi_1 - r_2 \cos \varphi_2}$$

$$\underline{\frac{r_2^2 - r_1^2}{r_1^2 - r^2} = K}$$

$$\lg \varphi_0 [K(r_1 \sin \varphi_1 - r_2 \sin \varphi_2) - (r_2 \sin \varphi_2 - r_1 \sin \varphi_1)] = \\ = r_2 \cos \varphi_2 - r_1 \cos \varphi_1 - K r_1 \cos \varphi_1 + K r_2 \cos \varphi_2$$

$$\underline{\lg \varphi_0 = \frac{r_2 \cos \varphi_2 - r_1 \cos \varphi_1 (1+K) + K \cdot r_2 \cos \varphi_2}{r_1 \sin \varphi_1 (1+K) - K \cdot r_1 \sin \varphi_2 - r_2 \sin \varphi_2}}$$

$$\underline{a = r - r_0}$$

Předcházející výběru souřadného systému a vzájemného rozložení bodů M, M_1, M_2 , jsme dosáhli teho, že při zjištování souřadnic těchto bodů pro jednotlivé druhy vaček, budeme přepočítávat pouze souřadnice $\varphi, \varphi_1, \varphi_2$ bodů příslušných vaček.

Numerický výpočet středu křivosti bodů
 $120^{\circ} M \div 200^{\circ} M$ příslušných přechodnic.

1. Přechodnice 120° Délka $K = 120^{\circ}$

$$M(155,54; 82^{\circ}08')$$

$$r^2 = 24\,192,7$$

$$M(156,18; 85^{\circ}28')$$

$$r_1^2 = 24\,392,1$$

$$M_2(154,57; 78^{\circ}48')$$

$$r_2^2 = 23\,891,9$$

$$K = -2,50852$$

$$k+1 = -150852$$

$$(K+1)r_1 \cdot \cos \varphi_1 = -18,621$$

$$(k+1) \cdot r_1 \cdot \sin \varphi_1 = -234,865$$

$$k \cdot r_2 \cdot \cos \varphi_2 = -53,403$$

$$k \cdot r_2 \cdot \sin \varphi_2 = -386,506$$

$$r_2 \cdot \cos \varphi_2 = 30,022$$

$$r_2 \cdot \sin \varphi_2 = 151,626$$

$$\tan \varphi_2 = -\frac{4,760}{0,015} = -317,33$$

$$\underline{\varphi_2} = -89^{\circ}49'10'' \doteq \underline{90^{\circ}11'}$$

$$\underline{r_2} = \frac{199,400}{3,284} = \underline{60,8 \text{ mm}}$$

$$\underline{a} = 155,54 - 60,8 = \underline{94,74 \text{ mm}}$$

$$\underline{S_M(60,8; 90^{\circ}11')}$$

2. Přechodnice 150° /Délka K° = 105°/

$${}^{100}M(155,54; 83^{\circ}09')$$

$$r^2 = 24192,7$$

$${}^{100}M_1(156,18; 86^{\circ}04')$$

$$r_1^2 = 24392,1$$

$${}^{100}M_2(154,57; 80^{\circ}14')$$

$$r_2^2 = 23891,9$$

$$K = -2,50852$$

$$Kr_1 = -1,50852$$

$$(K+1)r \cdot \cos\varphi = -16,161$$

$$(Kr_1) \cdot r \cdot \sin\varphi = -235,04$$

$$K \cdot r \cdot \cos\varphi = -46,536$$

$$K \cdot r \cdot \sin\varphi = -387,39$$

$$r_2 \cdot \cos\varphi_2 = 26,220$$

$$r_2 \cdot \sin\varphi_2 = 152,33$$

$$\operatorname{tg}\varphi_0 = -\frac{4,15}{0,02} = -207$$

$$\varphi_0 = -89^{\circ}43'40'' \div 90^{\circ}17'$$

$$r_0 = \frac{199,4}{2,68} = 74,5 \text{ mm}$$

$$a = 155,54 - 74,5 = 81,04 \text{ mm}$$

$$S_M(74,5; 90^{\circ}17')$$

3. Přechodnice 180° / Délka K° = 90° /

$${}^{100}M(155,54; 84^{\circ}06')$$

$$r^2 = 24192,7$$

$$M_1(156,18; 86^{\circ}36')$$

$$r_1^2 = 24392,1$$

$$M_2(154,57; 81^{\circ}36')$$

$$r_2^2 = 23891,9$$

$$K = -2,50852$$

$$Kr_1 = -1,50852$$

VŠST LIBEREC

Kinematické a dynamické
řešení mechanismu.

DP-STR. 16

11. ČERVENCE 1964

Jiří Nazáček

$$(K+1)r_1 \cdot \cos\varphi_1 = -13,9726 \quad (K+1)r_1 \cdot \sin\varphi_1 = -235,187$$

$$K \cdot r \cdot \cos\varphi = -40,107 \quad K \cdot r \cdot \sin\varphi = -388,108$$

$$r_2 \cdot \cos\varphi_2 = 22,5801 \quad r_2 \cdot \sin\varphi_2 = 152,911$$

$$\operatorname{tg}\varphi_0 = -\frac{3,657}{0,018} = -203,16$$

$$\varphi_0 = -89^\circ 44' \doteq 90^\circ 16'$$

$$r_0 = \frac{199,4}{2,386} = 85 \text{ mm}$$

$$a = 155,54 - 85 = 70,54 \text{ mm}$$

$S_M(85; 90^\circ 16')$

4. Přechodnice 200 / Délka $K^\circ = 80^\circ$ /

$$200 \gamma_1(155,54; 84^\circ 45') \quad r_1^2 = 24192,7$$

$$M_1(156,18; 86^\circ 58') \quad r_1^2 = 24392,1$$

$$M_2(154,57; 82^\circ 32') \quad r_2^2 = 23891,9$$

$$K = -2,50852$$

$$K+1 = -1,50852$$

$$(K+1)r_1 \cdot \cos\varphi_1 = -12,468 \quad (K+1)r_1 \cdot \sin\varphi_1 = -235,28$$

$$K \cdot r \cdot \cos\varphi = -35,709 \quad K \cdot r \cdot \sin\varphi = -388,54$$

$$r_2 \cdot \cos\varphi_2 = 20,554 \quad r_2 \cdot \sin\varphi_2 = 153,26$$

$$\operatorname{tg}\varphi_0 = -\frac{2,679}{0} = \infty$$

$$\varphi_0 = 90^\circ$$

$$r_0 = \frac{199,4}{2,176} = 91,9 \text{ mm}$$

$$a = 155,54 - 91,9 = 63,6 \text{ mm}$$

$S_M(91,9; 90^\circ)$

výpočet obvodových rychlostí jednotlivých
vaček na poloměru příslušných bodů M.

Poměr úhlových rychlostí hlavního hřídele stavu a hnacího hřídele dvouzdvižného listového stroje, jakým je řešená listovka, je 2 : 1

| | | | |
|-------------------|-------|-------|-------|
| Prehozní rychlosť | 200 | 240 | 280 |
| Obvodová rychlosť | 1,635 | 1,970 | 2,290 |

Obvodová rychlosť je udána v m/sec a prehozní rychlosť je v četnosti prehozů za min.

K nakreslení náhradních mechanismů použijme těchto zvelených měřítkek:

$$\text{měřítka délek } \alpha = \frac{\text{mm}}{\text{mm}}$$

$$\text{měřítka rychlostí } \beta = \frac{\text{m}}{40 \text{ mm sec}}$$

$$\text{měřítka zrychlení } \gamma = \frac{\beta^2}{\alpha} = \frac{\text{m}}{16 \text{ mm sec}^2}$$

Obecné řešení náhradního mechanismu.

Je to čtyřčlenný kloubový mechanismus, nahrazující ve zvolené poloze mechanismus vačkový. Vznikl tak, že mezi střed kladíčky / bod M / a střed křivosti tohoto bodu / S_M / byla vložena těhlice označena jako č. 3.

Na mechanismu řešíme kinematické veličiny bodu M. Vycházíme ze základního rozpisu

$$\bar{v}_1 = \bar{v}_2 + \bar{v}_1$$

Pro rychlosť v bodě M platí:

$$\bar{v}_M = \bar{v}_{M1} = \bar{v}_{M2} + \bar{v}_{M1}$$

Rychlosť \bar{v}_{M1} známe co do velikosti i směru

Rychlosť \bar{v}_{M2} známe pouze směr $\rightarrow x$

Rychlosť $\bar{v}_M = \bar{v}_{M1}$ také pouze směr $\rightarrow y$

$$\bar{v}_M = \bar{v}_{M1} = \bar{v}_{M2} + \bar{v}_{M1}$$

$\overrightarrow{y} \quad \overrightarrow{x} \quad \overrightarrow{-}$

Proteže směry x a y se liší pouze o několik minut, což nelze při grafické metodě zachytit, vychází rychlosť $\bar{v}_M = \bar{v}_M$ nulová.

V dalším považujeme tuto sílu za nulovou, protože její hodnota je skutečně nepatrná a její pominutí tedy nemůže ovlivnit přesnost výsledku.

Pro zrychlení v bodě M platí:

$$\bar{a}_M = \bar{a}_{M1} = \bar{a}_{M2} + \bar{a}_{M1} + \bar{a}_t$$

a_t je tak zvané Corioliseovo zrychlení. Vznik téhoto zrychlení je podmíněn charakterem

druhétného unášivého pohybu 32 - je-li tento pohybem rotačním, potom je vždy tento unášivý pohyb doprovázen Cericelisevým zrychlením. Jeho velikost a směr jsou určeny vektorovým součinem $2\bar{\alpha}_{32} \times \bar{\omega}_{32}$. Je tedy pevně svedeno $\approx 90^\circ$ v kladném smyslu od druhé rychlosti \bar{v}_{32} .

Zrychlení $\bar{\alpha}_{32} / \bar{\alpha}_{41}$ má pouze tečnou sležku $\bar{\alpha}_{32t}$, jejíž směr je $\rightarrow y$

Zrychlení $\bar{\alpha}_{41}$ má normálnou sležku \approx známé velikosti i směru a tečnou sležku ve směru $\rightarrow x$

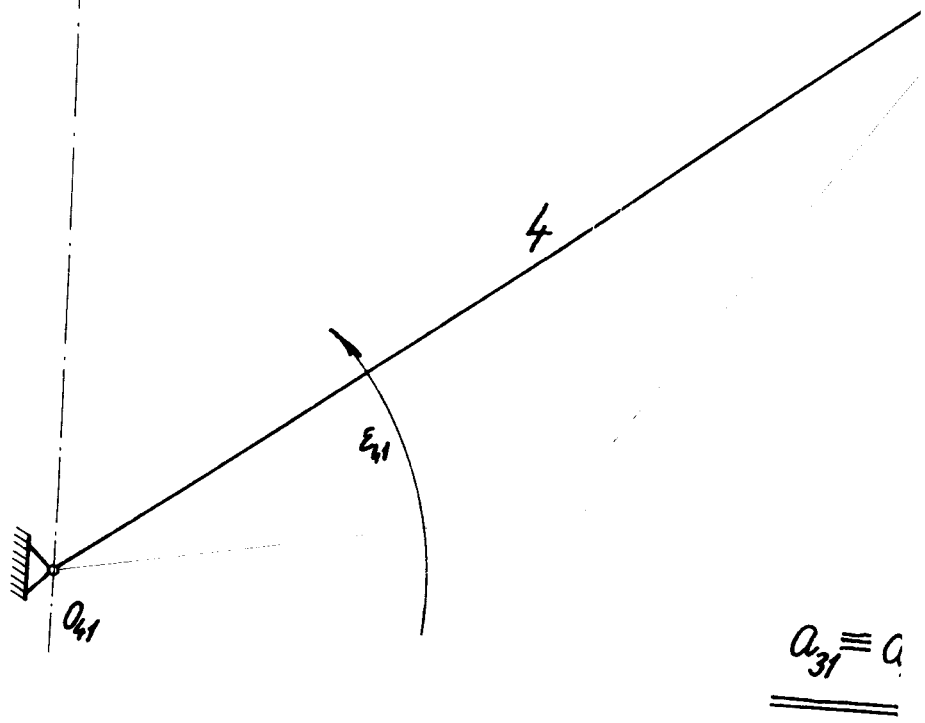
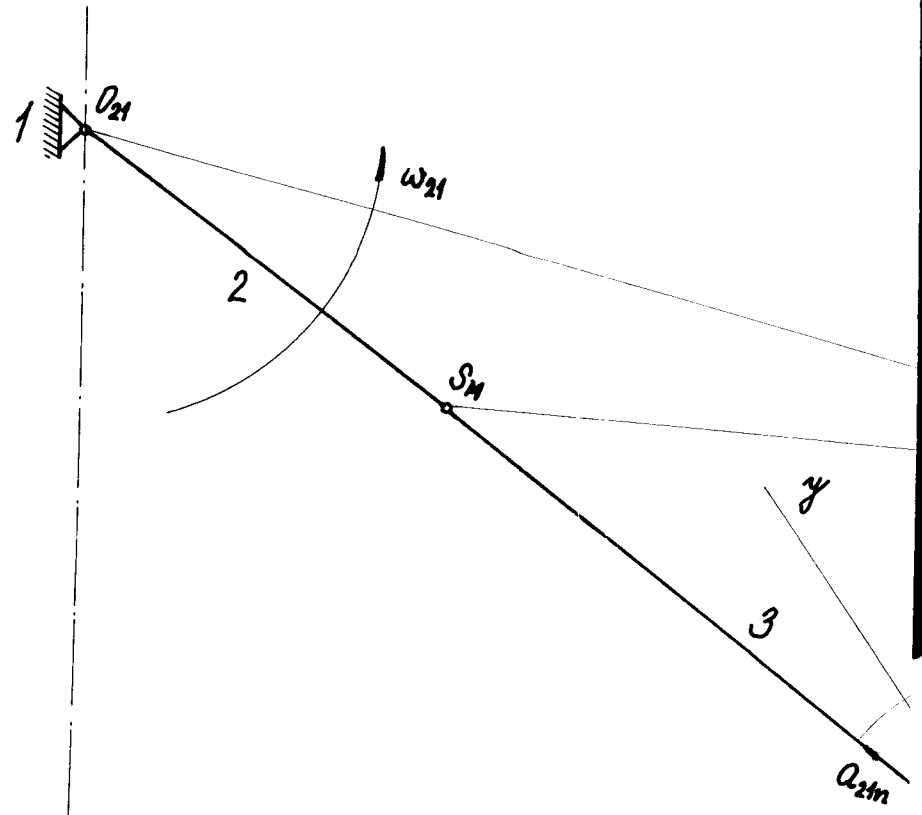
Zrychlení $\bar{\alpha}_{21}$ má pouze normálnou sležku, známou coby velikosti a směru. Tečná sležka je nulová, protože pohyb 21 je kruhový rovnometerný.

Cericelisevo zrychlení $\bar{\alpha}_c$ je známo coby de velikosti i směru.

$$\bar{\alpha}_{32} = \bar{\alpha}_{41} = \bar{\alpha}_{32t} + \bar{\alpha}_{32n} + \bar{\alpha}_c$$

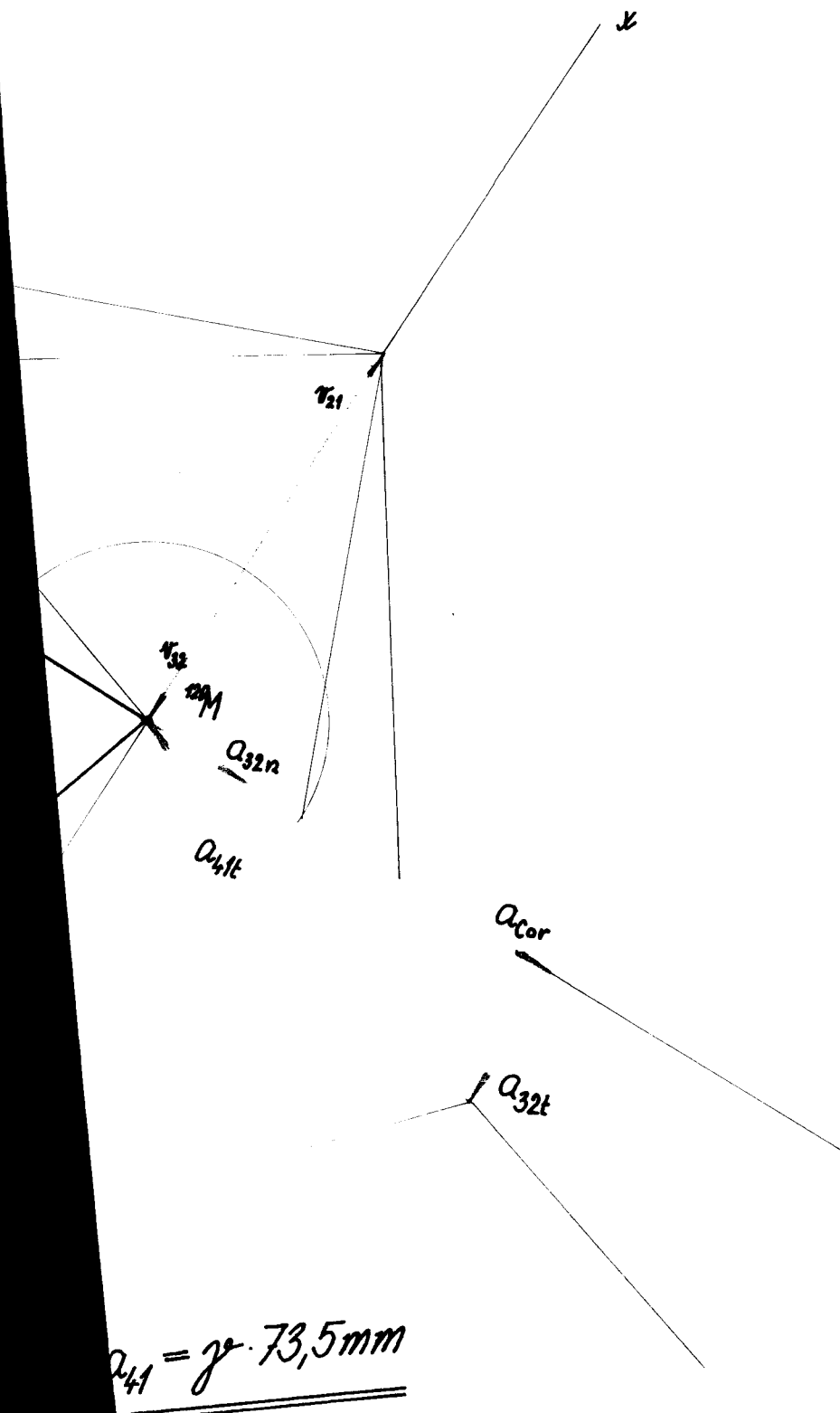
Grafické řešení náhradních mechanismů pro jednotlivé druhy vaček a zadané prehzení rychlosti je provedeno na následujících stránkách.

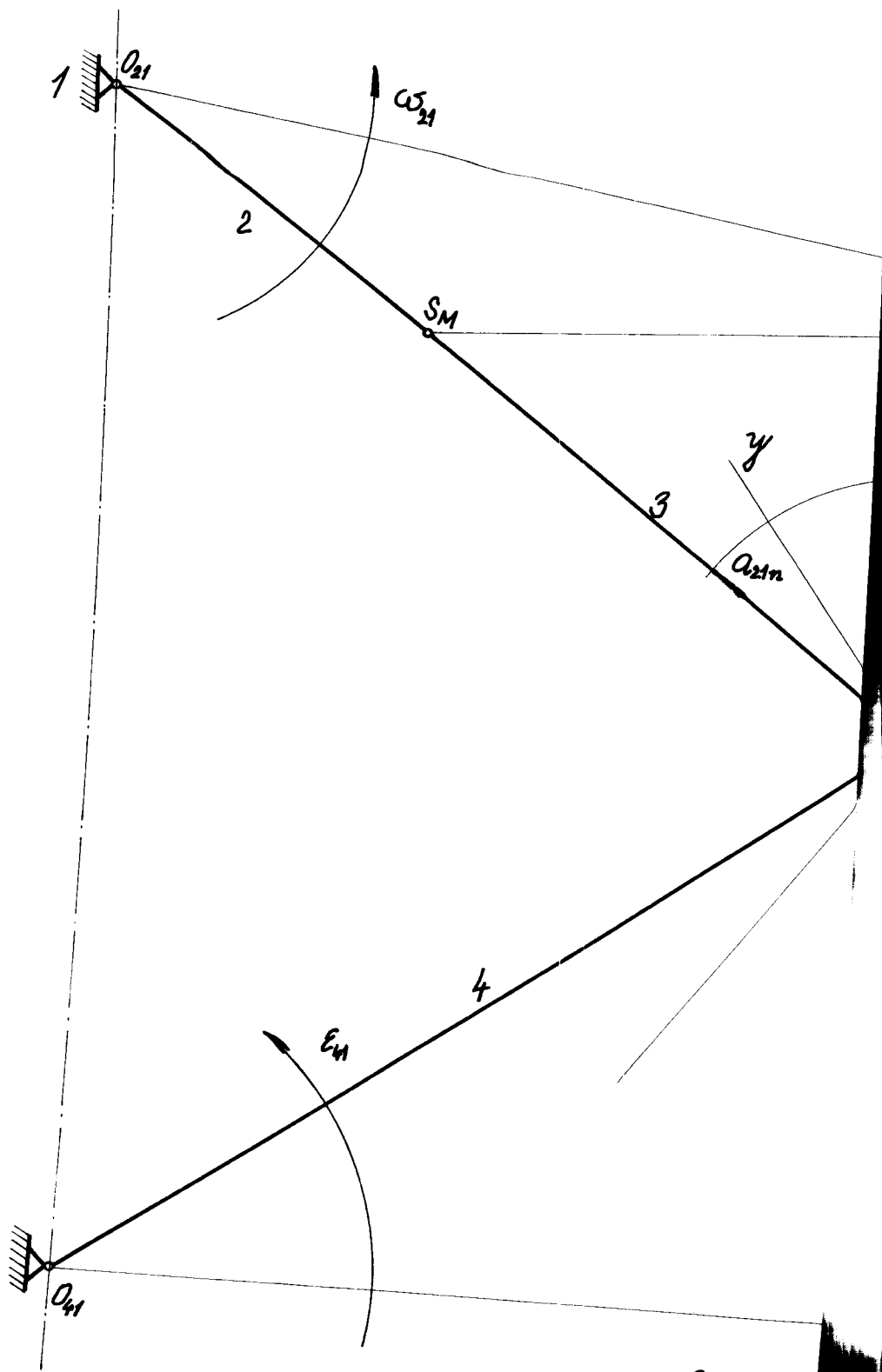
Poznámka: člen č. 4 náhradního mechanismu, ne něž je běd M, představující kladičku, se kryje se členem č. 3 kinematického schématu listového stroje.



Přechodnice 120°

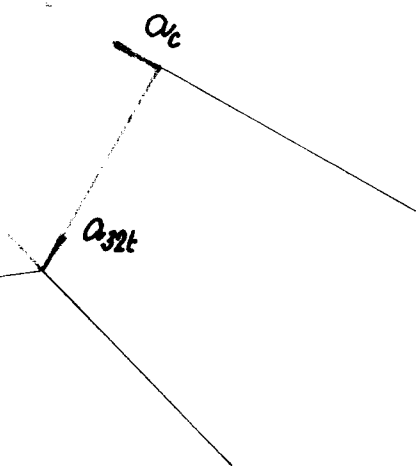
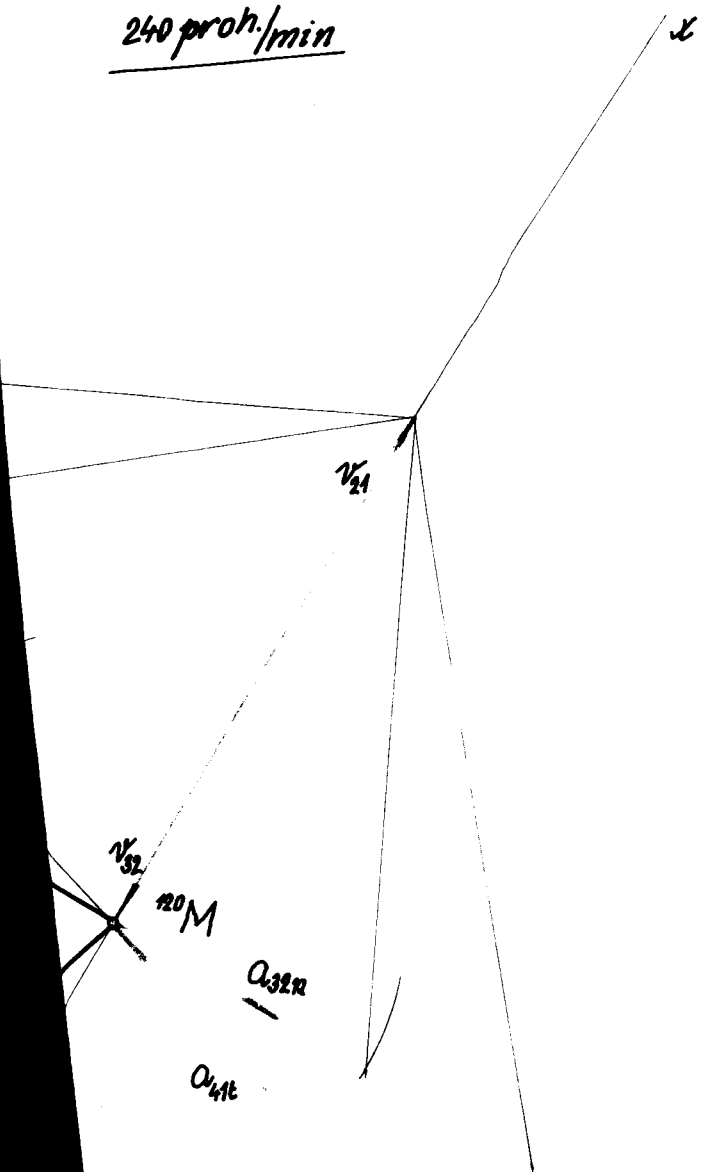
200 proh./min



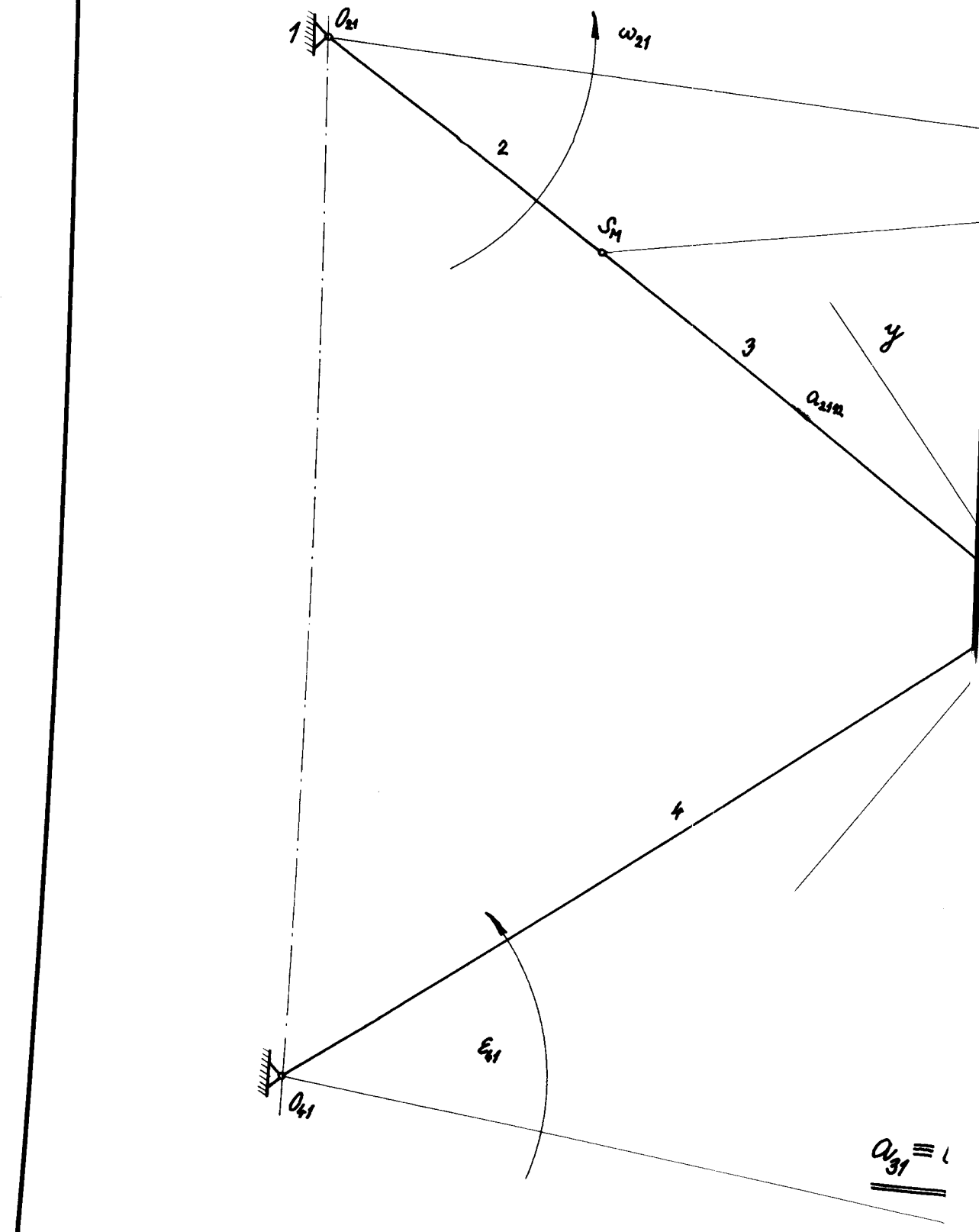


Přechodnice 120°

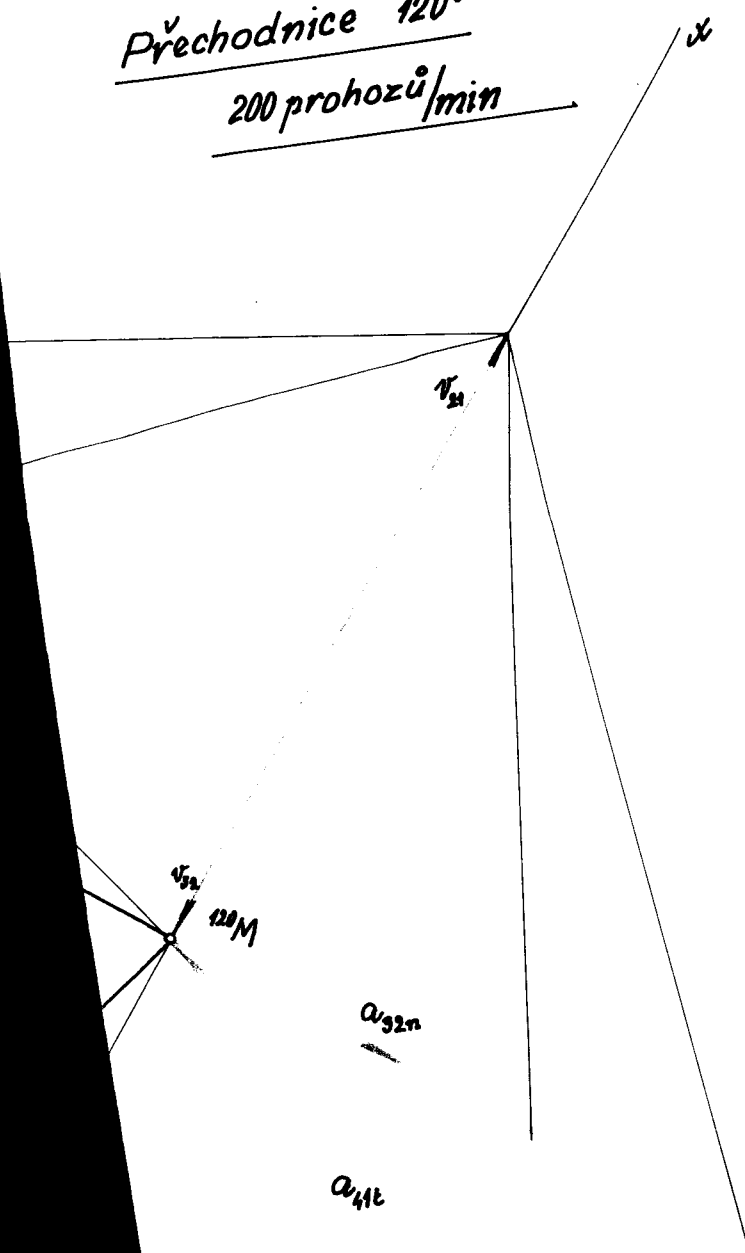
240 proh./min



$$= \gamma \cdot 109 \text{ mm}$$

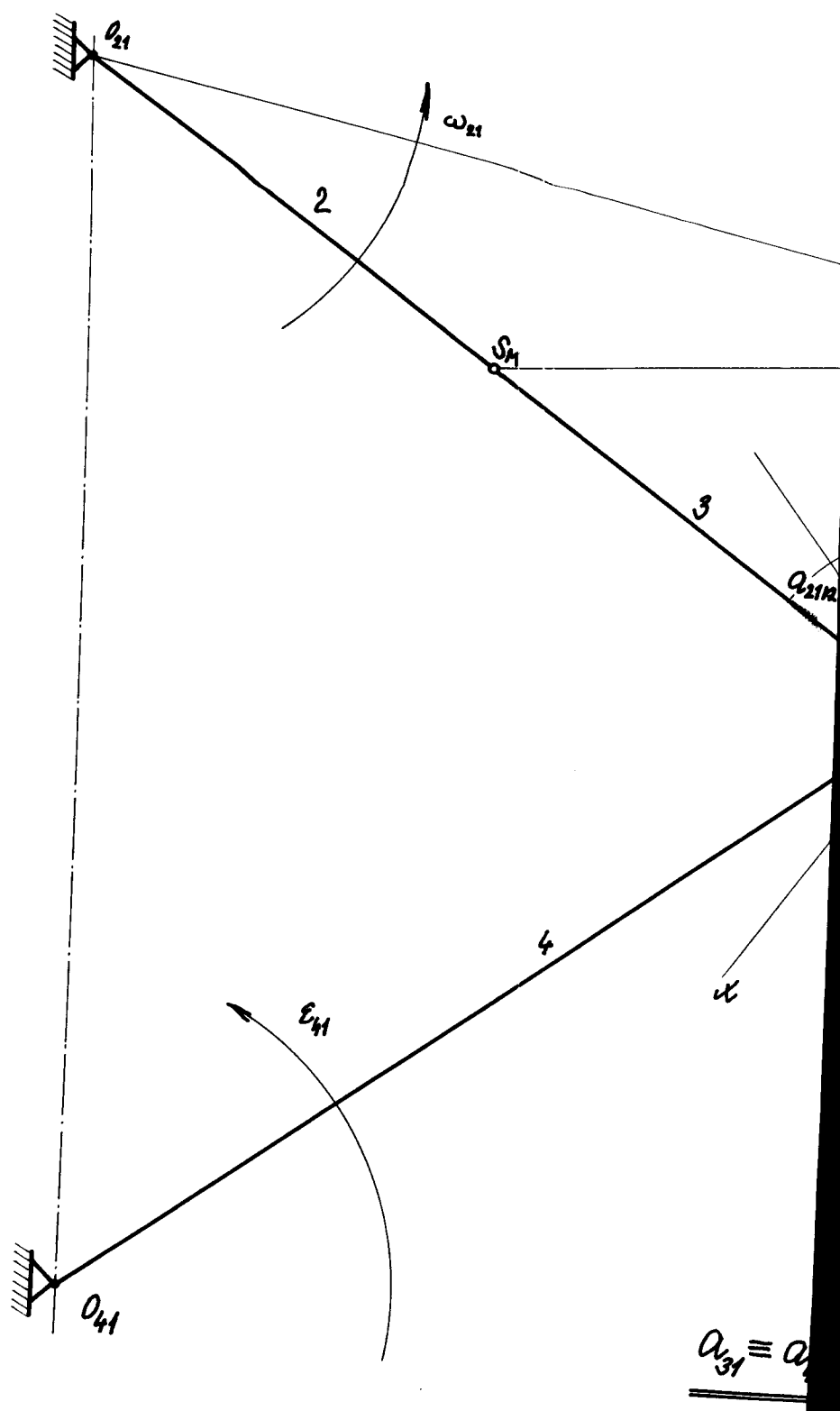


Prechodnice 120°
200 prohozů/min



$$a_{41} = \varrho \cdot 148 \text{ mm}$$

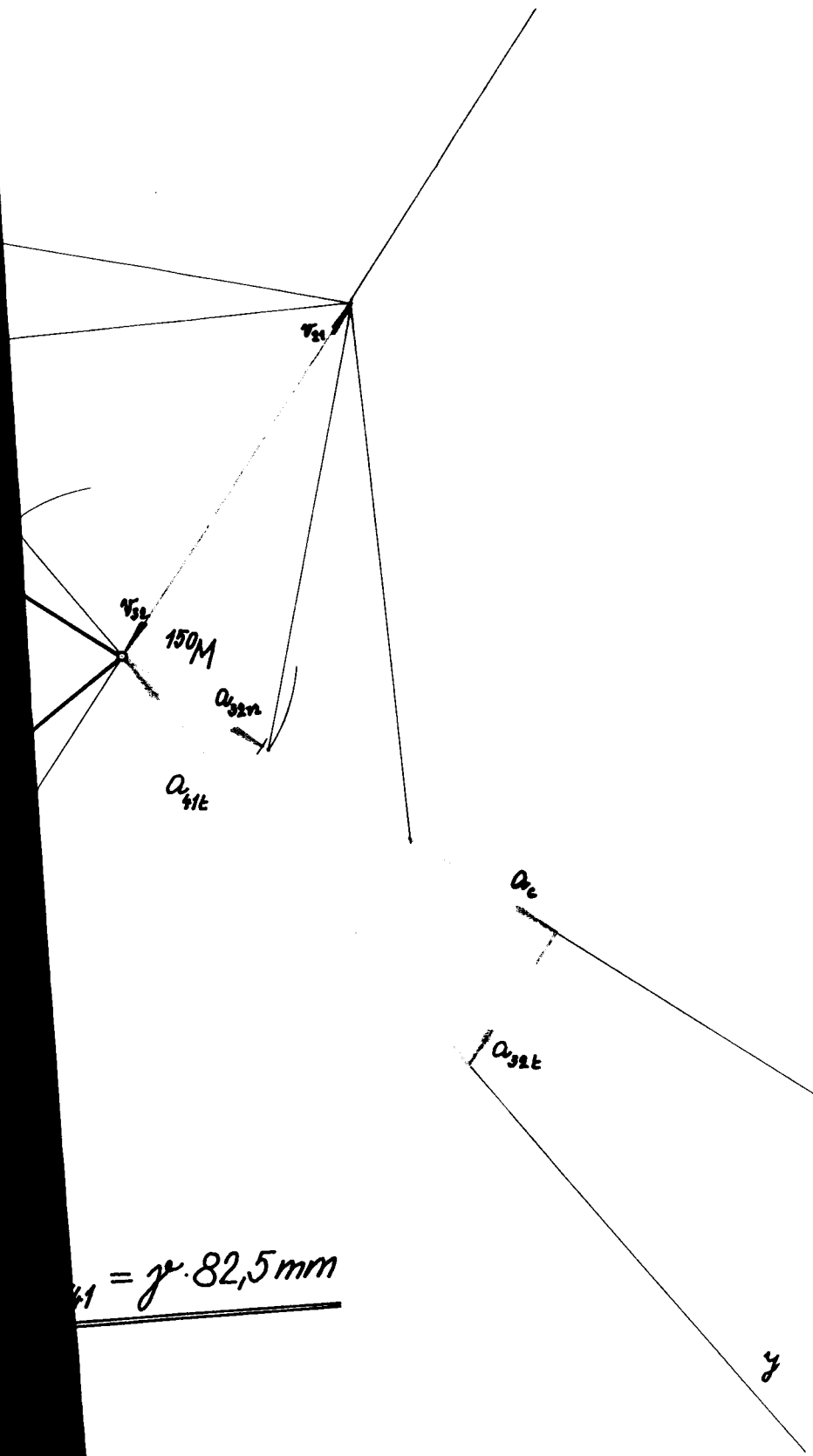
a_c

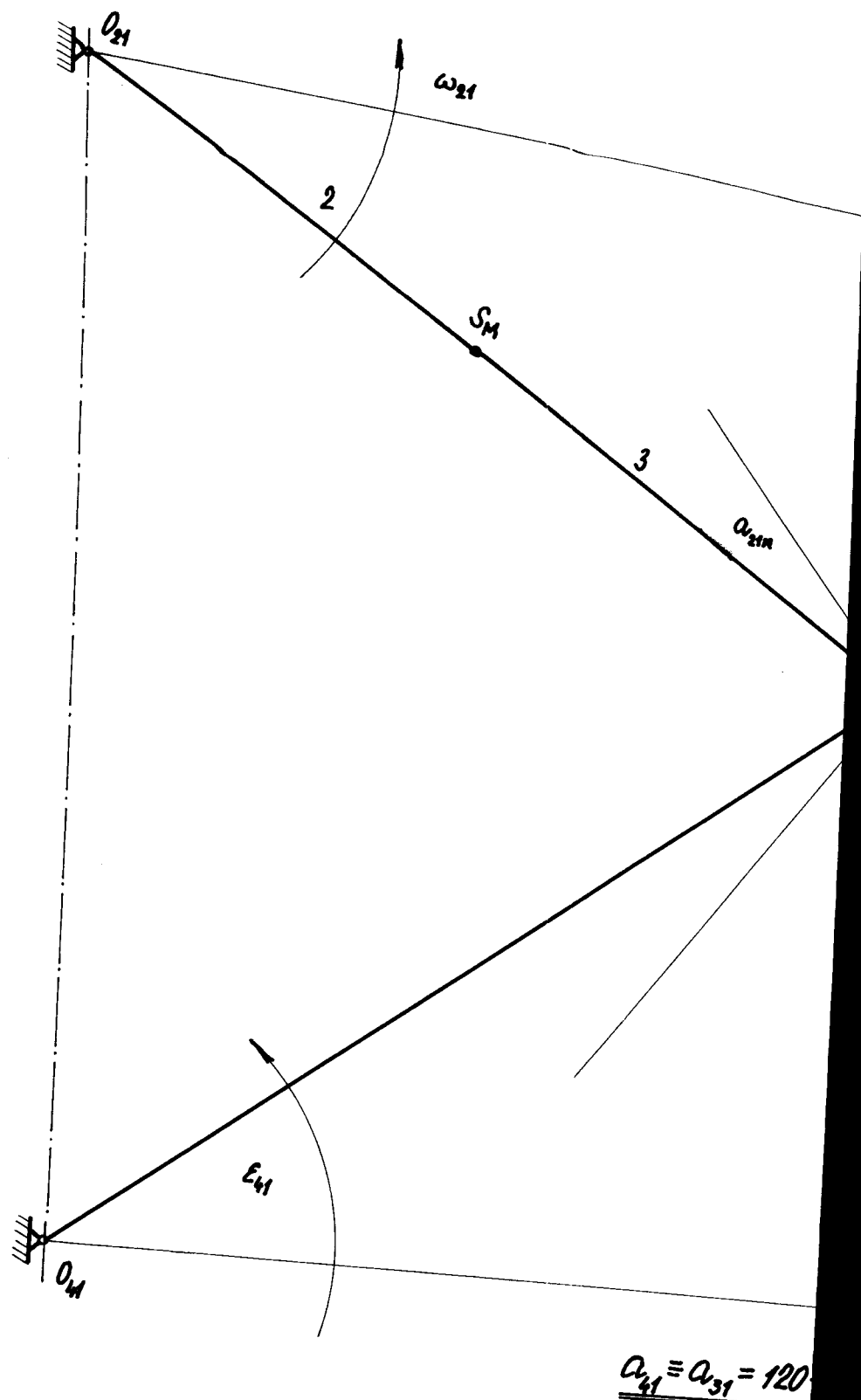


$$\underline{\alpha_{31} \equiv \alpha}$$

Přechodnice 150°

200 proh./min

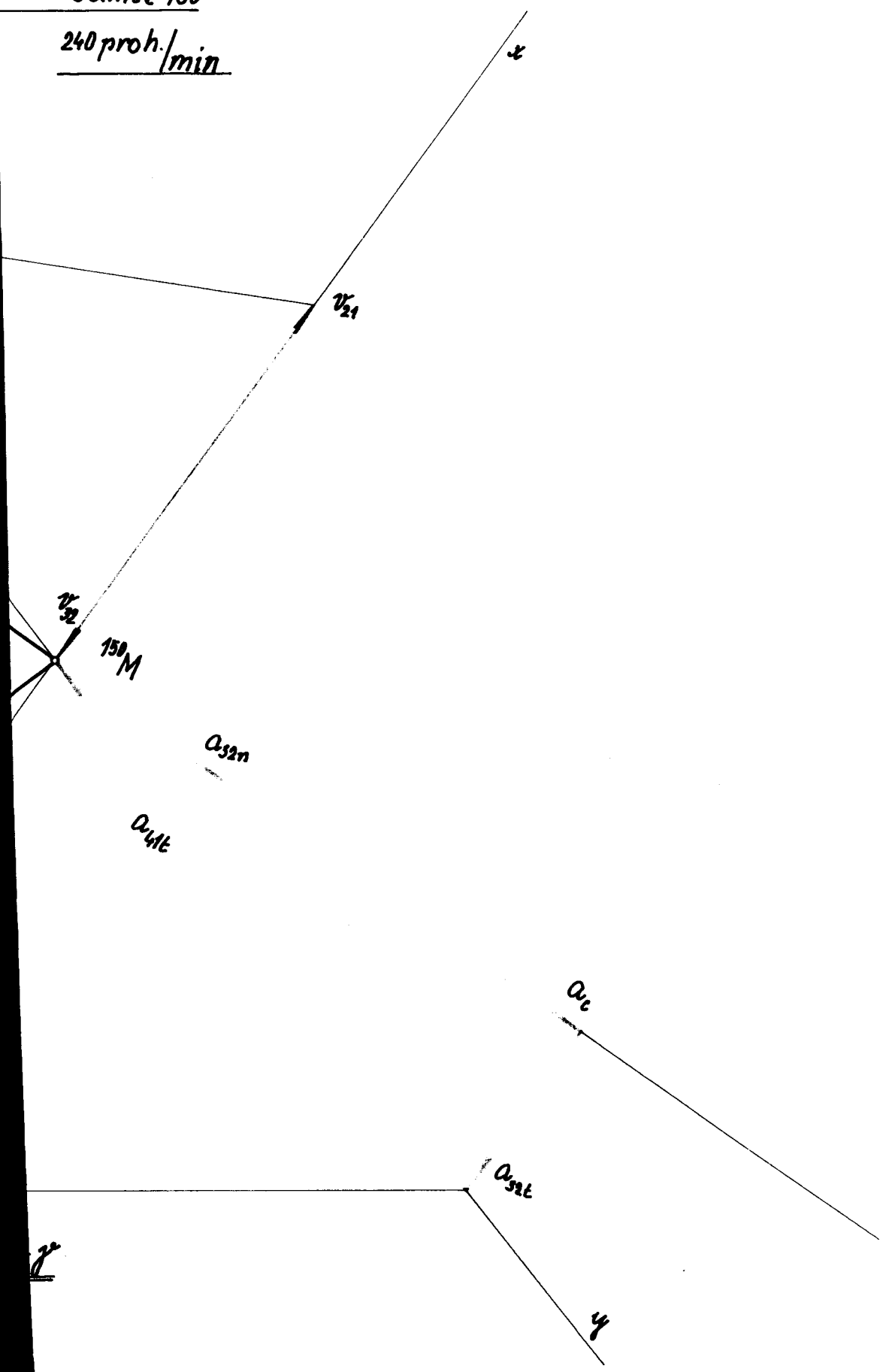




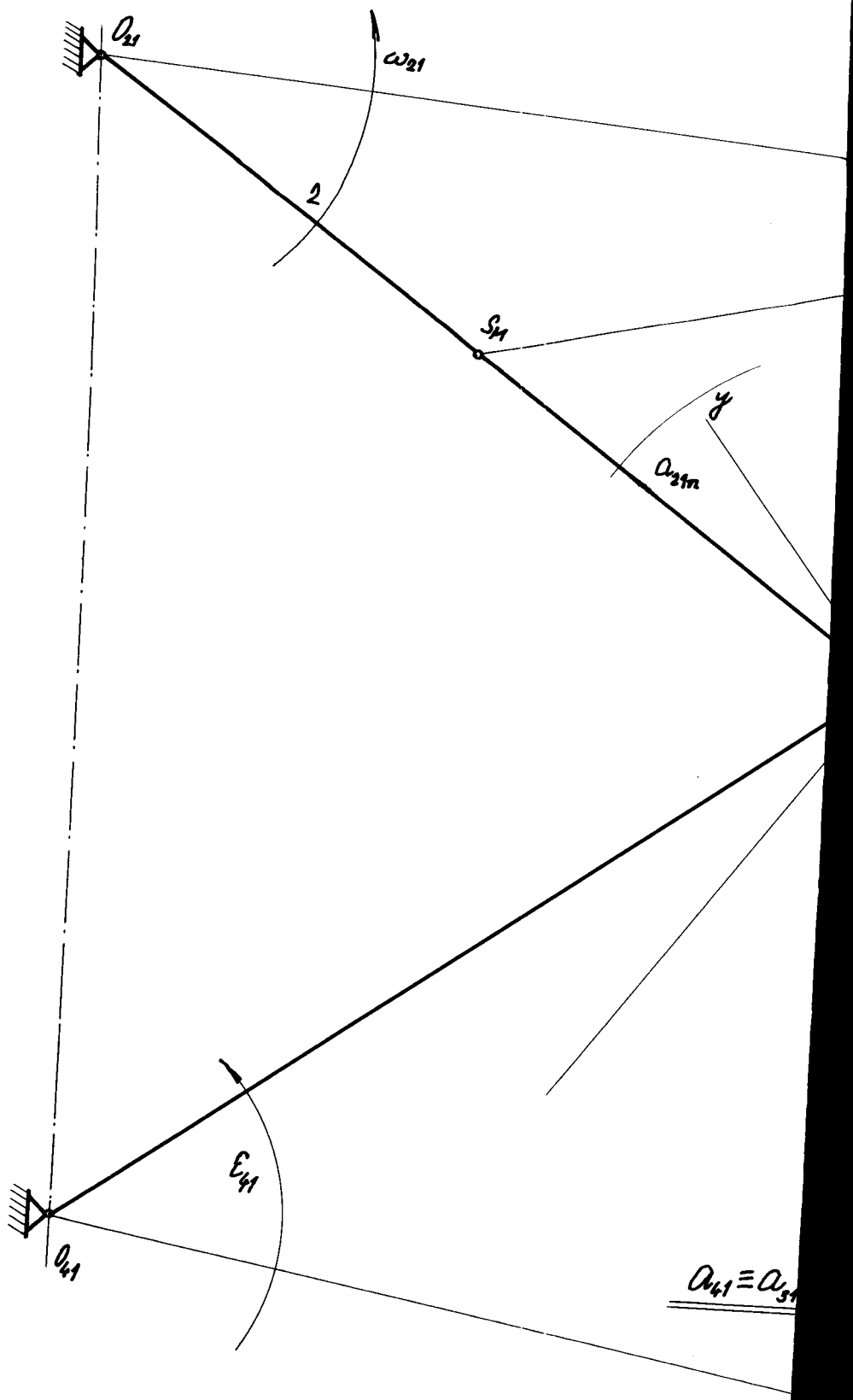
$$\underline{\alpha_{41} = \alpha_{31} = 120^\circ}$$

Přechodnice 150°

240 proh./min.

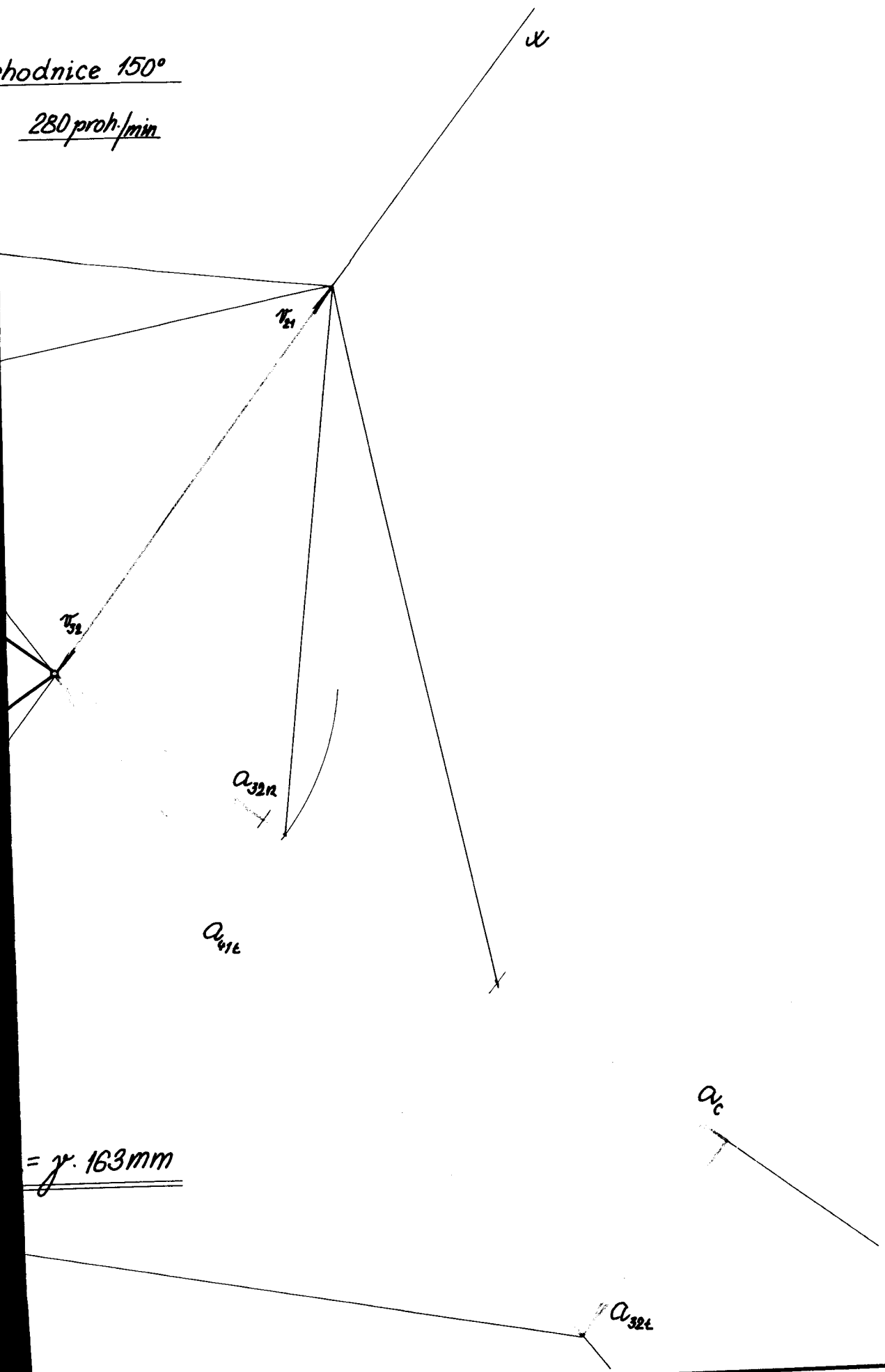


Přec



chodnice 150°

280 proh./min



$$= \varphi \cdot 163 \text{ mm}$$

Přehled tečných zrychlení kladíčky - bed M. $a_{te} \text{ v } m/sec^2$

| vačka: | 200 p/min | 240 p/min | 280 p/min |
|--------|-----------|-----------|-----------|
| 120° | 46 | 68 | 92 |
| 150° | 51 | 75 | 102 |
| 180° | 56 | 82 | 112 |
| 200° | 60,5 | 88 | 120 |

Zrychlení nožů a platin.

Člen 5 a 9, bed E má v této zvolené poloze okamžitý střed otáčení v ∞ - proto jeho pohyb není pohybem obecným, ale prostým posuvem. Rychlosť je nulová; zrychlení je shodné s bedem C úhlového vahadla 3.

| vačka: | 200 p/min | 240 p/min | 280 p/min |
|--------|-----------|-----------|-----------|
| 120° | 38,5 | 57 | 78 |
| 150° | 42,8 | 62,9 | 85,4 |
| 180° | 47 | 67,9 | 94 |
| 200° | 50,7 | 73,8 | 100,8 |

$$a_{yy} = a_{zz} = a_E = l_{31} \cdot r_c = \frac{a_{31}}{r_H} \cdot r_c [m/sec]$$

Dynamické řešení mechanismu.

V prvé řadě je třeba sestavit pohybovou rovnici pro zadaný mechanismus. Její obecný tvar je odvozen na str. 2

Tato rovnice mluví jednak o členech mechanismu, které konají pohyb posuvný a jednak o členech s pohybem rotačním. V řešeném mechanismu listového stroje jsou však také členy konající pohyb obecný; speciálně se jedná o členy 9; 11; 13; 17 a 18.

Každý obecný pohyb se však dá rozložit na dva současné pohyby a sice v pohyb posuvný a rotační. Budeme tedy uvažovat, že každý i-tý obecně se pohybující člen mechanismu se nejprve posune rychlostí - odpovídající skutečné posuvné rychlosti těžiště - a zároveň se pootočí kolem těžiště úhlovou rychlostí ω_i .

Pro vyšetřovanou okamžitou polohu mechanismu je však nutno podotknout, že člen 9 / platina / má pro tuto polohu okamžitý střed otáčení /pól relativního pohybu P / v nekonečnu, koná tedy v tomto okamžiku pouze posuvný přímečarý pohyb. Kolem těžiště tedy nerotuje.

Jak bylo v předešlém pedotknutu, provedeme redukci veškerých sil a momentů / na mechanismus působících / na posuvný člen 9

- lisovanou platinu. Tento redukci dojdeme
k obecné pohybové rovnici mechanismu

$$P_{redg} = m_{redg} \cdot a_g$$

V této rovnici je neznámou síla P_g , působící-
cí mezi nožem a ozubem platiny / kinematic-
ké schema - bed E /.

Vyjádření pohybové rovnice mechanismu.

$$P_{redg} = a_g \cdot m_{redg}$$

$$\begin{aligned} P_{redg} = P_g - G_9 \cdot G_{10} \cdot \mu_{10} - G_{11} \cdot \mu_{11} - G_{12} \cdot \mu_{12} - G_{13} \cdot \mu_{13} - \\ - G_{14} \cdot \mu_{14} + P_{19} - M_{12} \cdot \frac{\mu_{12}}{r_p} - M_{14} \cdot \frac{\mu_{14}}{r_p} - M_{16} \cdot \frac{\mu_{16}}{r_p} \end{aligned}$$

$$M_{12} = G_{12} \cdot \omega_{T_{12}} - \frac{1}{2} G_{13} \cdot \omega_3$$

$$M_{14} = G_{14} \cdot \omega_{T_{14}} - \frac{1}{2} G_{15} \cdot \omega_K - \frac{1}{2} G_{15} \cdot \omega_N$$

$$M_{16} = G_{16} \cdot \omega_{T_{16}} - \frac{1}{2} G_{15} \cdot \omega_p$$

$$\begin{aligned} m_{redg} = m_g + m_{11} \cdot \mu_{11}^2 + m_{13} \cdot \mu_{13}^2 + m_{15} \cdot \mu_{15}^2 + m_{17} \cdot \mu_{17}^2 + \\ + m_{18} \cdot \mu_{18}^2 + m_{20} \cdot \mu_{20}^2 + J_{10} \left(\frac{\mu_{15}}{r_p} \right)^2 + J_{11} \left(\frac{\mu_{11}}{r_p} \right)^2 + \\ + J_{12} \left(\frac{\mu_{12}}{r_p} \right)^2 + J_{13} \left(\frac{\mu_{13}}{r_p} \right)^2 + J_{14} \left(\frac{\mu_{14}}{r_p} \right)^2 + J_{15} \left(\frac{\mu_{15}}{r_p} \right)^2 + \\ + J_{16} \left(\frac{\mu_{16}}{r_p} \right)^2 + J_{17} \left(\frac{\mu_{17}}{r_p} \right)^2 + J_{18} \left(\frac{\mu_{18}}{r_p} \right)^2 \end{aligned}$$

K dosazení do pohybové rovnice schází nyní váhy hmety, momenty setrvačnosti jednotlivých členů a převodové poměry mezi jednotlivými členy. Přehled vah hmot a momentů setrvačnosti dává tabulka, kde jsou tyto hodnoty seřazeny.

Nejprve jsme stanovili zavěšováním těžiště každé součásti. Za druhé jsme si zjistili dobu kyvu zavěšené součásti. Potom jsme vypočetli moment setrvačnosti vzhledem k bedu závěsu a posléze přepočítali tento moment setrvačnosti pomocí Steinereovy věty na moment setrvačnosti vzhledem k ose čepu, kolem kterého součást rotuje a připočetli moment setrvačnosti čepu, pokud ovšem rotuje společně se součástí. U členů obecně se pohybujících je výsledný moment setrvačnosti určen vzhledem k těžišti.

Převody mezi jednotlivými členy.

Při odvození pohybové rovnice byly převody také definovány: $\mu_{pj} = \frac{N_j}{N_p}$ pro posouvající se členy a $\mu_{pi} = \frac{\omega_i}{\omega_p} \cdot r_p$ pro členy rotující; poloměr ~~r~~ je zvolen rovný délce platinové vahadla / člen 10 / při otáčení kolem bedu M a značen ~~r~~.

Mechanismus má ve vyšetřované poloze nulaevou rychlosť, proto by se nedale vyhovět téměř vztahům. Na člen 9 do bedu E byla tedy připojena jakási pomyslná jednotková

V8

rychlosť / / a z ní jsme všechny ostatní potřebné rychlosti na mechanismu odvodili použitím výminky tuhosti úseček pro počítání rychlosti. Tím přivedeme zjištění převodů mezi jednotlivými členy na pouhé porovnání dvou úseček, které představují myšlené vzájemné rychlosti členu redukovaného a redukčního.

Tyto vyřešené pomyslné rychlosti jsou zároveň i jednotkovými zrychleními jednotlivých členů. A to proto, že grafické řešení zrychlení na mechanismu s nulovou rychlostí se zjednoduší, odpadnutím všech normálních složek zrychlení, natolik, že se provádí stejným způsobem jako řešení rychlostí.

Výpočtení pohybové rovnice mechanismu.

$$\begin{aligned}
 P_{redg} = & P_g - G_g - G_{10}(\mu_{10} - G_{11}\cdot\mu_{11} - G_{12}\cdot\mu_{12} - \\
 & - G_{13}\cdot\mu_{13} + P_{13}(\mu_{13} - G_{12}\cdot\mu_{12}\cdot\frac{\mu_{12}}{r_p} + \frac{1}{2}G_{13}\cdot\mu_{13}\cdot\frac{\mu_{12}}{r_p} - \\
 & - \frac{\mu_{12}}{r_p}(G_{12}\cdot\mu_{12} - \frac{1}{2}G_{13}\cdot\mu_{13} - \frac{1}{2}G_{15}\cdot\mu_{15}) - \\
 & - \frac{\mu_{16}}{r_p}(G_{16}\cdot\mu_{16} - \frac{1}{2}G_{15}\cdot\mu_{15}))
 \end{aligned}$$

$$\begin{aligned}
 m_{redg} = & m_g + m_{11}(\mu_{11}^2 + m_{13}\cdot\mu_{13}^2 + m_{15}\cdot\mu_{15}^2 + \\
 & + m_{12}\cdot\mu_{12}^2 + m_{16}\cdot\mu_{16}^2 + m_{15}\cdot\mu_{15}^2 + J_{10}\left(\frac{\mu_{10}}{r_p}\right)^2 + \\
 & + J_{11}\left(\frac{\mu_{11}}{r_p}\right)^2 + J_{12}\left(\frac{\mu_{12}}{r_p}\right)^2 + J_{13}\left(\frac{\mu_{13}}{r_p}\right)^2 +
 \end{aligned}$$

$$+ \dot{y}_{14} \left(\frac{\mu_{14}}{r_p} \right)^2 + \dot{y}_{15} \left(\frac{\mu_{15}}{r_p} \right)^2 + \dot{y}_{16} \left(\frac{\mu_{16}}{r_p} \right)^2 + \dot{y}_{17} \left(\frac{\mu_{17}}{r_p} \right)^2 +$$

$$+ \dot{y}_{18} \left(\frac{\mu_{18}}{r_p} \right)^2$$

$$\mu_{10} = 1$$

$$\mu_{11} = \frac{v_{11}}{v_3} = \frac{51}{100} = 0,51$$

$$\mu'_1 = r_F \cdot \frac{\omega_{MT}}{v_3} = r_F \cdot \frac{v_{MT}}{T_3 \cdot T_F P_{MT}} = 0,625$$

$$\mu_{12} = r_F \cdot \frac{\omega_{M2}}{v_3} = r_F \cdot \frac{v_{M2}}{T_3 \cdot T_F} = 1,49$$

$$\mu_{13} = \frac{T_3}{T_F} = 0,79$$

$$\mu''_{13} = r_F \cdot \frac{\omega_{MT}}{v_3} = r_F \cdot \frac{v_{MT}}{T_3 \cdot T_F P_{MT}} = 0,0625$$

$$\mu_4 = r_F \cdot \frac{\omega_{M4}}{v_3} = r_F \cdot \frac{v_{M4}}{T_3 \cdot T_F} = 1,49$$

$$\mu_{15} = \frac{T_3}{T_F} = 0,55$$

$$\mu''_{15} = r_F \cdot \frac{\omega_{MT}}{v_3} = r_F \cdot \frac{v_{MT}}{T_3 \cdot T_F P_{MT}} = 0,905$$

$$\mu_{16} = r_F \cdot \frac{\omega_{M6}}{v_3} = r_F \cdot \frac{v_{M6}}{T_3 \cdot T_F} = 1,49$$

$$\mu_{17} = \mu_{16} - \frac{v_{M6}}{v_3} = 1,69$$

$$\mu''_{17} = \mu''_{16} - r_F \cdot \frac{\omega_{MT}}{T_3 \cdot T_F P_{MT}} = 0,8$$

$$\mu_{18} = \frac{T_3}{T_F} = 1,68$$

$$P_{redg} = P_3 - 0,22 - 0,68 - 0,048 - 1,16 - 5,27 + 57 - 0,0692 +$$

$$+ 0,0396 - 0,0192 + 0,0265 = P_3 + 58 - 7,87$$

$$P_{redg} = P_3 + 58 \text{ kg} - 7,87 \text{ kg}$$

$$m_{redg} = 0,0949 + 0,16 + 0,01 + 0,186 + 0,00203 - 0,0709 + 0,000293 +$$

$$+ 0,0072 + 0,98 + 0,252 + 0,0067 + 0,042 + 0,00252 + 0,0224 -$$

$$= 1,92 \text{ kg sec}^2/\text{m}$$

$$m_{rdg} \cdot a_g = P_g + 58 - 8 \quad [kg]$$

V dosavadním výpočtu jsme tedy dospěli k pohybové rovnici mechanismu, ze které jsme vyjádřili sílu P_g . Skutečná síla to však není, protože jsme neuvažovali, že mezi ozubem a nožem je vůle.

Provedme tedy nyní rozbor skutečných poměrů, při kterých dochází k přenosu silového impulu z hnacího paralelogramu na platinu a z ní prostřednictvím převodu na list.

Předně si rozeberme získanou pohybovou rovnici. Je nutno ještě podotknout, že uvedená rovnice pro daný mechanismus platí pouze pro uvažovanou okamžitou polohu, neboť se jedná o mechanismus s proměnným převodovým poměrem a v rovnici je aplikován převod zvolené polohy mechanismu.

$m \cdot a_g$ - dynamická síla.

$8kg$ - síla vyvolaná vahami jednotlivých členů mechanismu.

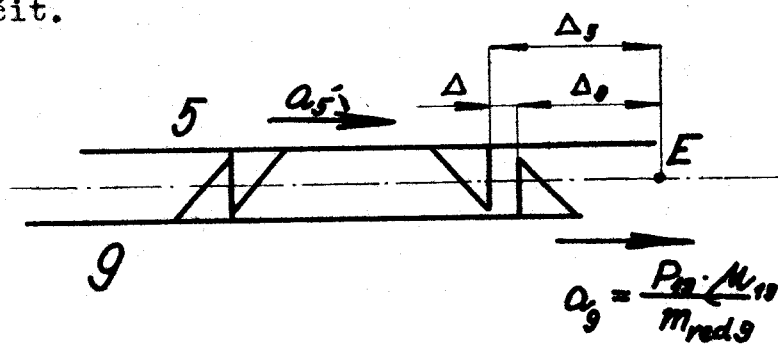
$58kg$ - síla vyvolaná odporem napjaté osny proti vychýlení tkací roviny do horní nebo spodní krajní polohy, násobená převodem mezi listem a platinou.

Upravíme ještě tuto rovnici tak, že do ní

zavedeme vliv tření. Měřením na mechanismu bylo zjištěno, že třecí síla má hodnotu 2 kg.

Během klidové výdrže, kdy je list stažen / respektivě zdvižen /, je udržován mechanismus v rovnováze díky tomu, že oce platinového vahadla se opře o prst stahovacího hřebene. V okamžiku, kdy končí klidová poloha a nůž s nožovými táhly a tedy i s hřebenem se počne pohybovat, uvede síla P_{19} do pohybu celý mechanismus - tedy i platinu. Ozub platiny počne před nožem ujízdět a tím je dáno, že ke styku nedojde v okamžiku, kdy nůž urazí dráhu rovnou vůli mezi ozubem a nožem plus součet všech vůlí v mechanismu, ale ke styku dojde až někdy později.

To ale do značné míry komplikuje výpočet maximální síly, nehledě k tomu, že její velikost je též ještě ovlivněna rázem a jak je známo, rázová síla se vůbec nedá přesně určit.



Obrázek znázorňuje kinematické poměry v okamžiku, kdy se nůž právě počne pohybovat a kdy je tedy zároveň i uvedena do pohybu platina, na kterou je redukována hmota celého mechanismu.

Ke styku obou členů dojde v bodě E, kdy nůž urazil dráhu Δ_s , a platina Δ_g .

Průběhem zrychlení obou členů jsou kosenusovky o stejných délkách oblouků, ale různých amplitudách. / to je ovšem pouze teorie/. Skutečný průběh má charakter tlumeného kmitání, přičemž maximální hodnota, které dosáhnou kmity zrychlení, je dvojnásobná oproti teoretickému průběhu.

Výpočet maximální síly P_{9skut} bychom měli tedy provésti takto:

- 1/ Zjistit, za jakou dobu dorazí oba členy ze svých výchozích poloh do bodu E.
- 2/ Určit zrychlení která jim přísluší v bodě E, tato zrychlení od sebe odečíst, čímž bychom určili relativní zrychlení / a_r / v okamžiku setkání.
- 3/ Dosadit dvojnásobnou hodnotu tohoto a_r zrychlení do rovnice pro výpočet

$$P_{9skut} = 2 \cdot m_{red} \cdot a_r + F \quad [kg]$$

Z titulu, že skutečné průběhy zrychlení obou členů jsou velmi komplikované předpokládejme, že se obě zrychlení během doby,

než dojde k setkání obou členů, nezmění a počítejme skutečnou sílu z rovnice

$$P_{skut} = 2 \cdot (\alpha_s - \alpha_g) \cdot m_{red} + F \quad [kg]$$

Přehled velikostí skutečných sil mezi platinou a nožem pro jednotlivé vačky a prohozní rychlosti. Síly jsou udány v kg.

| vačka: | 200 p/min | 240 p/min | 280 p/min |
|--------|-----------|-----------|-----------|
| 120° | 27 | 64 | 106 |
| 150° | 35,5 | 76 | 120 |
| 180° | 44 | 88 | 138 |
| 200° | 51,4 | 97 | 150 |

výpočet Hertzových tlaků mezi kladíčkou a
vačkou.

K výpočtu je třeba znát sílu, a to maximální sílu, která působí na kolmici mezi kladíčkou a obrysovou křivkou vačky.

Výpočet této síly provedeme stejnou metodou jako při výpočtu síly působící mezi nožem a ozubem platiny. Jediným rozdílem bude že redukci hmot a sil provedeme na rotační člen / vahadlo 3 /, nikoliv na posuvný jak tomu bylo v předešlém.

Pohybová rovnice nožového mechanismu:

$$M_{red3} = J_{red3} \cdot \varepsilon_3$$

Poznámka: Nyní již uvažujeme všechny 4 listy / 2 jsou stahovány a 2 zvedány/.

Síla potřebná na stah listů je menší než síla P_g při zdvihu listů. Velikost rozdílu sil je $2/8$ kg a to proto, že při stahu listů váhy jednotlivých členů mechanismu tento stah usnadňují.

Obecné vyjádření pohybové rovnice

hnacího mechanismu.

$$\begin{aligned} M_{red3} = & N \cdot r_H - 2 G_3 \cdot x_{T_3} - G_s (1 - \cos \alpha) r_C (\mu_{53} - \\ & - 2 G_6 \cdot x_{T_6} (\mu_{63}^2 + 2 G_7 \cdot x_{T_7} (\mu_{73} - P_g r_C (\mu_{53} - \\ & - (P_g - 16) r_C (\mu_{43} \end{aligned}$$

$$\gamma_{medg} = \gamma_3 + 2\gamma_6 \cdot (\mu_{43}^2 + 2\gamma_7 \cdot \mu_{73}^2 + m_5 \cdot r_c^2 \cdot \mu_{53}^2 + m_4 \cdot r_c^2 \cdot \mu_{43}^2)$$

Převodové poměry: $\mu_{43} = \frac{130}{130} \cdot \frac{100}{100} = 1$

$$\mu_{53} = \frac{155}{130} \cdot \frac{100}{116} = 0,91$$

$$\mu_{63} = \frac{130}{130} \cdot \frac{100}{100} = 1$$

$$\mu_{73} = \frac{155}{130} \cdot \frac{100}{116} = 0,91$$

$$M_{med3} = N \cdot r_H + 2,172 - 0,585 - P_g \cdot 0,26 = \\ = N \cdot r_H - P_g \cdot 0,26 + 1,587$$

$$\gamma_{medg} = 0,01151 + 0,00494 + 0,00536 + 0,896 \cdot 0,13^2 + \\ + 0,896 \cdot 0,13^2 = 0,290022$$

$$N = \frac{0,29 \cdot E_3 - 1,587 + 0,26 P_g}{r_H} = 1,87 \cdot E_3 - 10,1 + \\ + 1,7 P_g$$

$$\underline{N = 1,87 \cdot E_3 - 10,1 + 1,7 P_g}$$

Pohon listového stroje obstarávají dvě vačky, proto k výpočtu Hertzových tlaků použijeme pouze polovinu síly N.

Výpočet Hertzových tlaků provedeme podle
známého vzorce:

$$p [kg/cm^2] = \sqrt{0,35 \cdot \frac{P}{b} \cdot \frac{\frac{1}{E_1} + \frac{1}{E_2}}{\frac{1}{E_1} + \frac{1}{E_2}}}$$

Přehled zjištěných Hertzových tlaků.

| vačka: | 200 p/min | 240 p/min | 280 p/min |
|--------|-----------|-----------|-----------|
| 120° | 723 | 968 | 1 031 |
| 150° | 799 | 977 | 1 100 |
| 180° | 867 | 994 | 1 180 |
| 200° | 912 | 1 010 | 1 220 |

Orientační propočet maximálních sil pro pří-
pad, že by bylo použito u řešeného mechanis-
mu sinusové vačky.

Na následující stránce jsou znázorněny kinematické poměry vačky, která má průběh zrychlení sinusový. Právě tímto průběhem zrychlení se podstatně liší od vačky kosinusové. Výhodou vačky s takovýmto průběhem zrychlení je, že nemá skoky ve zrychlení, nýbrž pouze zlomy. Te má samozřejmě za následek podstatné zmírnění rázů u mechanismu.

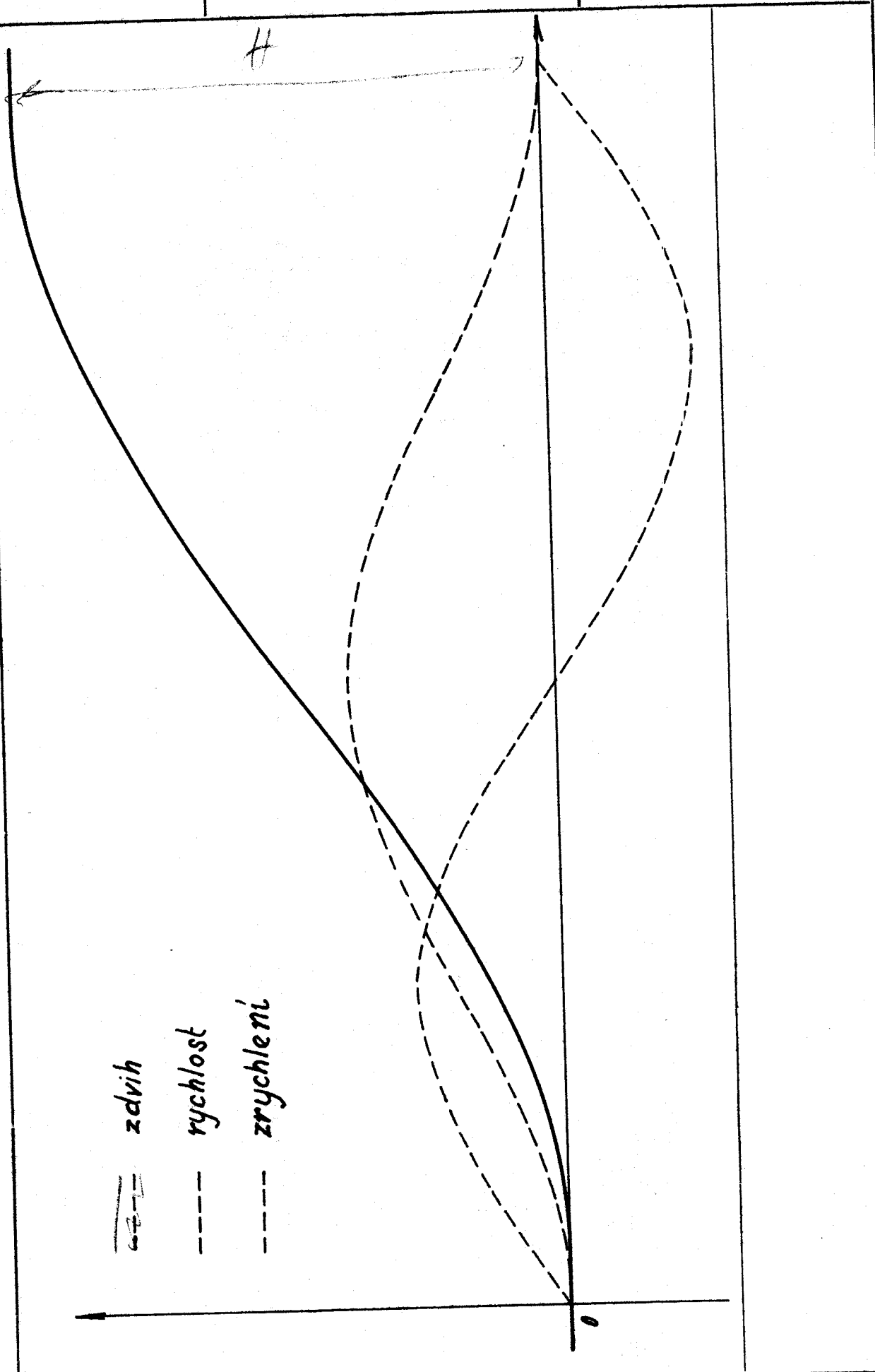
Nevýhodou takovýchto vaček je však ale skutečnost, že mají poměrně strmou střední část zdvihofé křivky, kde se potom setkáváme s velkým vztřstem tlaku mezi bokem vačky a zdvihátkem nebo vahadlem.

Poměr mezi maximálním zrychlením vačky kosinusové a maximálním zrychlením nakresleného druhu sinusové vačky je přibližně 1,35 / hodnota zjištěná z literatury /. Zatím co kosinusová vačka má na začátku a na konci maximum zrychlení, sinusová jej má v prvé a druhé čtvrtině zdvihu.

Máme-li rozhodnout, která vačka by pro daný mechanismus, vzhledem k velikosti silového namáhání ozubu platiny, byla vhod-

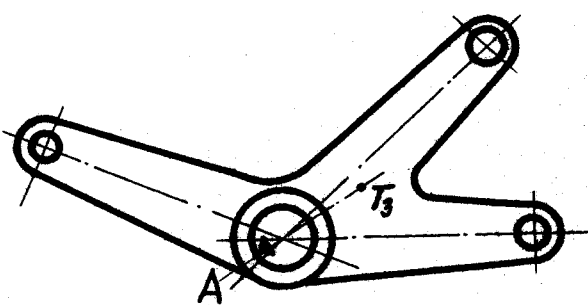
nější, potom lze tvrdit, že by to byla vačka se sinusovým průběhem. Na podporu této tvrzení budiž uvedeny tato důvody:

U kosinusové vačky je na začátku ráz ve zrychlení a navíc ještě i ráz mezi ozubem platiny a nežem. Naopak sinusová vačka má na začátku své přechodnice pouze zlém ve zrychlení, nůž na platinu by najel šetrněji a teprve při dalším pohybu by mechanismus dosáhl maximálního zrychlení. Také kmity ve zrychlení by již v této době byly částečně utlumeny. Maximální síla na ozubu platiny by tedy byla rozhodně menší než u stávajícího pohoru vačkou kosinusevou; odhadněme, že by byla asi o 30 % menší.



Hmotové veličiny členů mechanismu.Člen č.3

Dolní vahadlo.

Váha : $G = 3,175 \text{ g}$ Vzdálenost těžiště od osy rotace: $e = 37 \text{ mm}$

Bod zavěšení : A

Doba jedného kyvu : $t = 0,835 \text{ sec}$

$$\ddot{\gamma} = \dot{\gamma} - m \cdot r_A^2 = \frac{t^2 \cdot G(e+r)}{r^3} - \frac{G}{g} r_A^2$$

$$\ddot{\gamma} = \frac{0,690 \cdot 3,175 \cdot 0,037}{0,02^3} - \frac{3,175}{9,81} = 0,0128 - 0,00123$$

$$\underline{\ddot{\gamma} = 0,01151 \text{ kgms}^{-2}}$$

Člen č.4 a 5

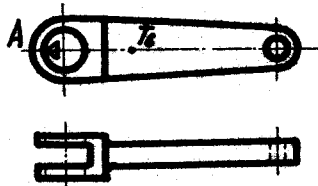
Táhla s nežem a hřebenem.

Váha : $G = 8,960 \text{ g}$

Moment setrvačnosti není třeba zjišťovat,
neboť tyto dva členy nerotují.

Člen č.6

Vahadlo horní, přední.

Váha : $G = 820 \text{ g}$ Vzdálenost těžiště od osy rotace : $e = 63,4$

Bod zavěšení : A

Doba jednoho kyvu : $t = 0,640 \text{ sec}$

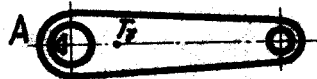
$$\bar{\gamma}_o = \bar{\gamma}_A - m \cdot r_A^2 = \frac{e^2 \cdot G}{\pi^2} - \frac{G}{g} \cdot r_A^2$$

$$\bar{\gamma}_o = \frac{0,410 \cdot 0,820 \cdot 0,078}{\pi^2} - \frac{0,810}{9,81} \cdot 40^2 = 0,0026 - 0,00017$$

$$\bar{\gamma}_o = 0,00247 \text{ kgm}^{-2}$$

Člen č.7

Vahadlo horní, zadní.

Váha : $G = 765 \text{ g}$ Vzdálenost těžiště od osy rotace : $e = 67,1$ Doba jednoho kyvu : $t = 0,668 \text{ sec}$

$$\bar{\gamma}_o = \bar{\gamma}_A - m \cdot r_A^2 = \frac{e^2 \cdot G}{\pi^2} - \frac{G}{g} \cdot r_A^2$$

$$\bar{\gamma}_o = \frac{0,448 \cdot 0,765 \cdot 0,082}{\pi^2} - \frac{0,865}{9,81} \cdot 0,015^2 = 0,00285 - 0,00017$$

$$\bar{\gamma}_o = 0,00268 \text{ kgm}^{-2}$$

Člen č. 8 a 9

Lisované platiny.

Váha: $G = 220\text{g}$

Moment setrvačnosti není třeba zjišťovat, neboť platina ve vyšetřované poloze koná pouze posuvný pohyb.

Člen č. 10

Vahadlo platin.

Váha: $G = 680\text{g}$ Vzdálenost těžiště od osy rotace: $e = 19,5$ Doba jednoho kyvu: $t = 0,856 \text{ sec}$

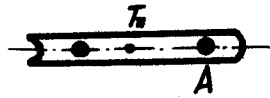
$$\bar{\gamma} = \bar{\gamma}_A - m \cdot r_A^2 - \frac{\ell^2 \cdot G(e+r)}{\pi^2} - \frac{G}{g} \cdot \bar{r}^2$$

$$\bar{\gamma} = \frac{0,733 \cdot 0,680 \cdot 0,012}{\pi^2} - \frac{0,680}{9,81} \cdot 0,012^2 - 0,00705 - 0,00069$$

$$\underline{\bar{\gamma} = 0,00636 \text{ kgm}^2 \text{s}^{-2}}$$

Člen č. 11

Spojovací táhlo.

Váha: $G = 95\text{g}$ Doba jednoho kyvu: $t = 0,41 \text{ sec}$

Rotuje kolem těžiště, zjišťujeme tedy

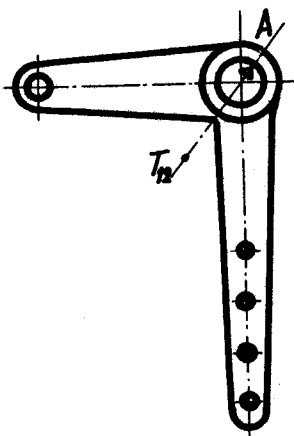
 J_T , při čemž vzdálenost $TA = 32\text{mm}$

$$\bar{\gamma} = \frac{0,168 \cdot 0,095 \cdot 0,037}{\pi^2} - \frac{0,095}{9,81} \cdot 0,037^2 - 0,0000531 - 0,00001$$

$$\underline{\bar{\gamma} = 0,000052 \text{ kgm}^2 \text{s}^{-2}}$$

Člen č. 12

Boční úhlová páka.

Váha: $G = 810 \text{ g}$ Vzdálenost těžiště od osy rotace: $e = 63 \text{ mm}$

Bod zavěšení: A

Doba jednoho kyvů: $t = 0,76 \text{ sec}$

$$\gamma = \gamma_A - m \cdot r_A^2 = \frac{t^2 \cdot G(e+r)}{T^2} - \frac{G}{g} \cdot r_A^2$$

$$\gamma = \frac{0,579 \cdot 0,810 \cdot 0,078}{T^2} - \frac{0,810}{9,81} \cdot 0,015^2 = 0,00299 - 0,000825$$

$$\underline{\gamma = 0,00216 \text{ kgms}^2}$$

Člen č. 13

Spojovací táhlo dlouhé.

Váha: $G = 660 \text{ g}$ Doba jednoho kyvů: $t = 1,15 \text{ sec}$

Rotuje kolem těžiště, zjištujeme tedy

 J_T , přičemž vzdálenost $\overline{TA} = 419 \text{ mm}$

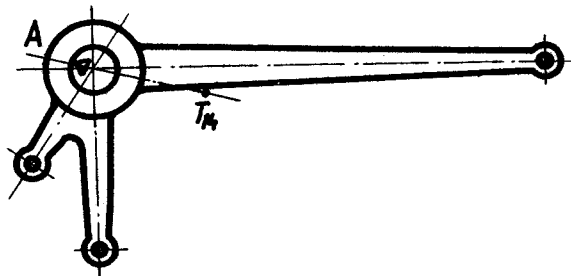
$$\gamma_r = \gamma_A - m \cdot r_A^2 = \frac{t^2 \cdot G(e+r)}{T^2} - \frac{G}{g} \cdot r_A^2$$

$$\gamma_r = \frac{1,325 \cdot 0,660 \cdot 0,416}{T^2} - \frac{0,660}{9,81} \cdot 0,17^2 = 0,037 - 0,0011$$

$$\underline{\gamma_r = 0,0359 \text{ kgms}^2}$$

Člen č. 14

Úhlová páka trojité.

Váha: $G = 955 \text{ g}$ Vzdálenost těžiště od osy rotace: $e = 79 \text{ mm}$

Bod zavěšení: A

Doba jednoho kyvu: $t = 0,952 \text{ sec}$

$$\gamma = \gamma_A - m \cdot r_A^2 - \frac{t^2 \cdot G(e+r)}{\pi^2} - \frac{G}{g} r_A^2$$

$$\gamma = \frac{0,910 \cdot 0,955 \cdot 0,094}{\pi^2} - \frac{0,955}{9,81} 0,015^2 = 0,00690 - 0,000975$$

$$\underline{\underline{\gamma = 0,00597 \text{ kgm}^2}}$$

Člen č. 15

Spojovací táhlo.

Váha: $G = 220 \text{ g}$ Doba jednoho kyvu: $t = 0,662 \text{ sec}$

Rotuje kolem těžiště, zjištujeme tedy

J_T, přičemž vzdálenost TA = 113,5 mm

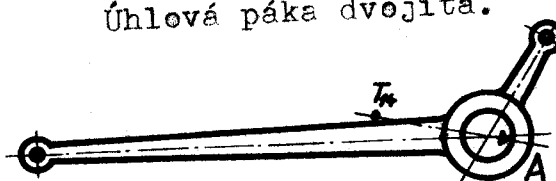
$$\gamma = \gamma_A - m \cdot r_A^2 - \frac{t^2 \cdot G(e+r)}{\pi^2} - \frac{G}{g} r_A^2$$

$$\gamma = \frac{0,440 \cdot 0,220 \cdot 0,113}{\pi^2} - \frac{0,220}{9,81} 0,0128 - 0,00111 - 0,000285$$

$$\underline{\underline{\gamma = 0,000825 \text{ kgm}^2}}$$

Člen č. 16

Úhlová páka dvojitá.

Váha: $G = 835 \text{ g}$ Vzdálenost těžiště od osy rotace: $e = 79 \text{ mm}$

Bod zavěšení: A

Doba jednoho kyvu: $t = 0,925 \text{ sec}$

$$\gamma_r - \gamma_A - m r_A^2 = \frac{t^2 \cdot G(e+r)}{\pi^2} - \frac{G}{g} r_A^2$$

$$\gamma_r = \frac{0,857 \cdot 0,835 \cdot 0,079}{\pi^2} - \frac{0,835}{9,81} 0,01^2 = 0,0057 - 0,000085$$

$$\underline{\underline{\gamma_r = 0,00488 \text{ kgm}^2}}$$

Člen č. 17 a 18

Stahovače listů.

Váha: $G = 435 \text{ g}$ Doba jednoho kyvu: $t = 1 \text{ sec}$

Rotuje kolem těžiště, zjišťujeme tedy

J_T, přičemž vzdálenost TA = 180 mm

$$\gamma_r - \gamma_A - m r_A^2 = \frac{t^2 \cdot G(e+r)}{\pi^2} - \frac{G}{g} r_A^2$$

$$\gamma_r = \frac{100 \cdot 0,435 \cdot 0,013}{\pi^2} - \frac{0,435}{9,81} 0,034 = 0,00815 - 0,00151$$

$$\underline{\underline{\gamma_r = 0,00683 \text{ kgm}^2}}$$

VŠST LIBEREC

Kinematické a dynamické
řešení mechanismu.

DP-STR. 48

11. ČERVENCE 1964

Jiří Mazáček

Člen č. 19

List s nítenkami.

Váha: G_{listu} 1 990 g

G_1 500 nitěnek 1 425 g

Celková váha listu s nítenkami

3 415 g

Tento člen kéná pouze posuvný přímočarý
pohyb.

VŠST LIBEREC

Kinematické a dynamické
řešení mechanismu.

DP-STR. 50

11. ČERVENCE 1964

Jiří Mazáček

Seznam použité literatury.

A.Grim: Grafické konstrukce vaček pro jedno-
účelové stroje.

J. Šrejtr: Technická mechanika II - III.

Textilní strojírenství - časo-
pis VÚTT Liberec

Závěr.

Tímto bych tedy pokládal zadání práce za vyčerpáno. K práci je dlužno uvést, že některé drobné výpočty nejsou uvedeny; na př. výpočet síly na list, která je vyvolána odporém vychýlené osnovy do krajní polohy stahu respektivě zdvihu. Velmi pracným byl výpočet křivostí bodů 120^M až 200^M. Muselo být použito sedmimístných logaritmických tabulek aby výběc bylo dosaženo přijatelného výsledku.

Doufám, že jsem se dopracoval určitého pozitivního výsledku a doveluji si svou práci ukončit.

V Liberci dne 13. VII. 1964

Jiří Mazáček.

O b s a h

| | |
|---|----|
| Úvod..... | 1 |
| Stručný rozvrh a postup řešení..... | 4 |
| Zjištění kinematických veličin kosinusové vačky a vahadla..... | 7 |
| Konstrukce náhradního mechanismu..... | 11 |
| Výpočty středů křivosti bodů M..... | 14 |
| Obecné řešení náhradního mechanismu..... | 18 |
| Grafické řešení náhradních mechanismů... | 20 |
| Dynamické řešení mechanismu..... | 27 |
| Přehled skutečných sil mezi platinou a nožem..... | 35 |
| Výpočet Hertzových tlaků..... | 36 |
| Přehled Hertzových tlaků..... | 38 |
| Orientační propočet max. sil pro sinusovou vačku..... | 39 |
| Hmotové veličiny členů mechanismu..... | 42 |
| Závěr..... | 49 |
| Seznam použité literatury..... | 50 |
| Obsah..... | 51 |